

حل مسئله پخش بار بهینه و تعیین قیمت نهایی محلی در شبکه قدرت مبتنی بر مدیریت گرفتگی با استفاده از الگوریتم WPSO-GSF

مسعود دشت دار^۱، مجتبی نجفی^۲ و مصطفی اسماعیل ییگ^۳

^۱ دانشجوی دکتری، گروه مهندسی برق- واحد بوشهر- دانشگاه آزاد اسلامی- بوشهر- ایران، dashtdar.masoud@gmail.com

^۲ نویسنده مسئول، استادیار گروه مهندسی برق- واحد بوشهر- دانشگاه آزاد اسلامی- بوشهر- ایران، mnajafi@iaubushehr.ac.ir

^۳ استادیار گروه مهندسی برق- واحد بوشهر- دانشگاه آزاد اسلامی- بوشهر- ایران، Me_beag@iaubushehr.ac.ir

(تاریخ دریافت مقاله: ۱۳۹۸/۰۴/۲۹ تاریخ پذیرش مقاله: ۱۳۹۸/۰۸/۰۲)

نشریه ملاذی غیرخطی و ممنوعی برن

دوره ۷ - شماره ۱

بهار و تابستان ۱۳۹۹

صفحات ۱۰۷ الی ۱۸۱

ISSN: 2322-3146

<http://jnsee.sut.ac.ir>

چکیده

یکی از روش‌های کاهش هزینه تولید و بهبود عملکرد ژنراتورهای شبکه، حل مسئله پخش بار بهینه مبتنی بر مدیریت گرفتگی خطوط است. تا این طریق بتوان تراکم خطوط و به دنبال آن قیمت نهایی محلی (LMP) را کاهش داد. از آنجاکه پخش بار، دارای معادلاتی غیرخطی است در این مقاله از الگوریتم بهینه‌سازی ازدحام ذرات (PSO) در حل مسئله استفاده شده است. در اینجا سعی شده با لحاظ کردن دو تکنیک، عملکرد الگوریتم PSO را بهبود بخشد. اولین تکنیک استفاده از مولد آشوب به منظور جلوگیری از گیرکردن ذرات PSO در نقاط مینیم محلی و دومی لحاظ کردن ضرب حساسیت توان (GSF) در ساختار الگوریتم بهینه‌سازی ازدحام ذرات وزن شده (WPSO) است تا این طریق بتوان به صورت همزمان توان عبوری از خطوط شبکه را محاسبه نموده و پخش بار واقعی به دست آورد. نهایتاً خروجی الگوریتم شامل مقادیر ولتاژ باس‌ها، تلفات خطوط، توان تزریقی به باس‌ها، توان عبوری از خطوط، کل هزینه تولید، تعیین قیمت برق به صورت یکنواخت (UMP) یا LMP بسته به پر شدن ظرفیت خطوط و محاسبه سود ژنراتورها خواهد بود. ضمناً به منظور بررسی دقیق الگوریتم، روش پیشنهادی روی شبکه‌های استاندارد IEEE ۱۴ شینه، ۳۰ شینه، ۵۷ شینه آزموده شده که نتایج آن نشان‌دهنده افزایش سرعت و دقیقیت الگوریتم در مقایسه با دیگر روش‌ها بوده است.

واژه‌های کلیدی

پخش بار بهینه،

قیمت نهایی محلی،

ضریب حساسیت توان،

.PSO الگوریتم



Sahand University
of Technology

Journal of Nonlinear
Systems in Electrical
Engineering

Vol.7, No.1

Spring and Summer 2020

ISSN: 2322 – 3146

<http://jnsee.sut.ac.ir>

Solving the Optimal Power Flow Problem and Determine the Locational Marginal Price in the Power Network Based on Congestion Management Using the WPSO-GSF Algorithm

Masoud Dashtdar¹, Mojtaba Najafi² and Mostafa Esmaeilbeig³

¹Ph.D. student, Electrical Engineering Department, Bushehr Branch, Islamic Azad University, Bushehr, dashtdar.masoud@gmail.com

²**Corresponding Author**, Electrical Engineering Department, Bushehr Branch, Islamic Azad University, Bushehr, Iran, mnajafi@iaubushehr.ac.ir

³Electrical Engineering Department, Bushehr Branch, Islamic Azad University, Bushehr, Iran, Me_beag@iaubushehr.ac.ir

ABSTRACT

Keywords

OPF,

LMP,

GSF,

PSO algorithm.

Away to decrease the costs of generation and improve the performance of the grid generator, the problem of OPF is solved based on line congestion management. As the power flow equation is nonlinear, this paper uses the PSO algorithm to solve the OPF problem. By considering two technique, this paper uses the PSO algorithm for improving the performance. The first technique is to use a chaos generator to prevent PSO particles from sticking to local minimum points and the second one considers the GSF in the WPSO algorithm structure so that the power passing through network lines can be simultaneously calculated and real power flow. Finally, the result of WPSO-GSF algorithm which includes the bus voltage values, line losses, injection power to b buses, power passing through lines, total generation cost, setting electricity prices in two ways, UMP or LMP, depending on filling line capacity and calculating generators' profits are carried out. Besides, to check the accuracy of the algorithm, the proposed method is tested on the IEEE 14-BUS, 30-BUS, 57-BUS standard networks, the results which indicate an increase in the speed and accuracy of the WPSO-GSF algorithm compared to other methods in improving the OPF problem.

۱- مقدمه

معمولًا از پخش بار بهینه (OPF) برای انجام مطالعات رفع اضافه بار خطوط مبتنی بر اندازه‌گیری هوشمند [۱-۳]، کنترل سیستم انتقال [۴-۵]، محاسبه ظرفیت انتقال قابل دسترس (ATC) [۶-۷]، مدیریت گرفتگی خطوط [۸-۱۲]، تعیین قیمت توان‌های اکتیو و راکتیو [۱۳-۱۸] و قیمت گذاری نهایی محلی (LMP) [۱۹-۲۴] استفاده می‌شود. در OPF متغیرهای کنترلی به گونه‌ای تعیین می‌شوند که تابع هدف مینیم شده و هم‌زمان مجموعه‌ای از قیود تساوی (معادلات پخش بار) و قیود نامساوی (شامل محدودیت‌های کنترلی و بهره‌برداری) برقرار شود؛ که در آن تابع هدف برابر مجموع هزینه تولید کلیه ژنراتورهاست و متغیرهای کنترلی نیز همان توان‌های اکتیو تولیدی ژنراتورها و متغیرهای حالت هم دامنه و زاویه ولتاژ باس‌ها هستند [۲۵].

محاسبه قیمت نهایی محلی یکی از فاکتورهای مهم در بررسی عملکرد واحدی‌های تولیدی است که این خود منوط به آگاهی از ظرفیت خطوط انتقال و انجام پخش بار بهینه مبتنی بر واقعیت است؛ به گونه‌ای که هر چه پرشدگی خطوط کمتر باشد به نوبه خود باعث کاهش قیمت LMP می‌شود. و از آنجا که معادلات پخش بار، معادلاتی غیر خطی است بیشتر از روش‌های هوش مصنوعی (AI) مانند الگوریتم کلونی زنبور عسل مصنوعی (ABC) [۲۶]، الگوریتم کرم شب تاب [۲۷]، برنامه‌نویسی تکاملی (CEP) [۲۸]، برنامه‌نویسی بهبودیافته تکاملی سریع (IFEP) [۲۹]، الگوریتم ژنتیک (GA) [۳۰]، تکامل تفاضلی (DE) [۳۱]، بهینه‌سازی کلونی مورچگان (ACO) [۳۲]، برای حل مسئله استفاده شده است. یکی دیگر از تکنیک‌های هوش مصنوعی، بهینه‌سازی ازدحام ذرات (PSO) است [۳۳]؛ که در سال‌های اخیر توجه زیادی را به خود جلب کرده و توانسته به طور موافقی آمیزی مسائل بهینه‌سازی مختلف در سامانه‌های قدرت از جمله پخش بار اقتصادی [۳۴]، کنترل ولتاژ و توان راکتیو [۳۵]، پایداری گذرا [۳۶] را به خوبی حل نماید.

در روش PSO، پارامتر وزن اهمیت بسیاری دارد [۳۷-۳۹] چرا که بر روی سرعت همگرایی و دقت الگوریتم تأثیرگذار است؛ بنابراین، در سال‌های اخیر، برخی از محققان پیشرفت‌های جدیدی نظری بهینه‌سازی ازدحام ذرات بهبودیافته (IPSO) [۴۰]، بهینه‌سازی ازدحام ذرات کارآمد (EPSO) [۴۱]، بهینه‌سازی ازدحام ذرات سلسله مراتبی (SOH-PSO) و روش‌های بهینه‌سازی ازدحام ذرات کوانتمی (QPSO) [۴۲] را برای به دست آوردن راه حل‌های بهتر و سریع‌تر در حل مسئله OPF ارائه نموده‌اند؛ که در این مقاله نیز به منظور توسعه الگوریتم PSO، از مولد آشوب جهت بهبود وزن ذرات و خارج شدن از نقاط مینیمم محلی استفاده شده است (WPSO) ضمناً جهت واقعی شدن پخش بار در ساختار الگوریتم WPSO از ضریب حساسیت توان (GSF) می‌توان توان نیز کمک گرفته شده است به گونه‌ای که به ازای هر تغییر در متغیرهای کنترلی، به صورت هم‌زمان از طریق GSF که نتایج به دست آمد نشان دهنده عملکرد مناسب این الگوریتم در مقایسه با دیگر الگوریتم‌ها بوده است.

سازمان‌دهی این مقاله به شرح زیر است: در بخش ۲ این مقاله به معرفی مسئله پخش بار بهینه و نحوه فرمول‌بندی مسئله پرداخته شده است. بخش ۳ مراحل اجرای فرایند پخش بار در الگوریتم پیشنهادی و نحوه تعیین قیمت بازار برق و محاسبه سود ژنراتورها را بیان

می‌کند. در بخش ۴ ساختار الگوریتم بهینه‌سازی WPSO-GSF اجرا شده است. در بخش ۵ روش پیشنهادی روی شبکه‌های استاندارد IEEE آزموده شده در بخش ۶ نتایج پیاده‌سازی الگوریتم پیشنهادی ارائه شده و نهایتاً در بخش ۷ نیز نتیجه‌گیری طرح پیشنهادی بیان می‌شود.

۲- تعریف مسئله پخش بار بهینه (OPF)

هدف از OPF به حداقل رساندن هزینه کل سوخت واحدهای حرارتی و همچنین حفظ عملکرد مطلوب سیستم از لحاظ محدودیت در خروجی توان اکتیو و راکتیو ژنراتور، ولتاژ باس، خازن / راکتور شنت، تنظیم تپ ترانسفورماتور و پخش توان خطوط انتقال است. در واقع پخش بار یکی از مسائل مهم در بررسی اقتصادی سیستم‌های قدرت است که می‌توان آن را بصورت یک مسئله بهینه‌سازی تعریف نمود که از تابع هدف و یکسری قیود مسئله تشکیل شده است. محدودیت‌های مسئله مربوط به قوانین فیزیکی حاکم بر سیستم‌های انتقال و تولید انرژی و محدودیت‌های بهره‌برداری و تجهیزات است.

• فرمول‌بندی مسئله:

استاندارد مسئله OPF را می‌توان به صورت رابطه (۱) نوشت:

$$\text{Min } \{F(x)\}, \quad h(x) = 0; \quad g(x) \geq 0 \quad (1)$$

که در آن $F(x)$ تابع هدف، $h(x)$ نشان دهنده محدودیت‌های تساوی، $g(x)$ نشان دهنده محدودیت‌های نامساوی و x بردار متغیرهای کنترلی است، که توسط اپراتور مرکز کنترل تغییر می‌کند (که شامل توان اکتیو و راکتیو، اندازه ولتاژ باس تولید، تپ‌های ترانسفورماتور وغیره است). ماهیت مسئله پخش بار بهینه در واقع کاهش تابع هدف و به طور همزمان برقراری معادلات پخش بار (محدودیت تساوی) بدون نقض محدودیت‌های نامساوی است.

• تابع هدف:

هدف اصلی در فرمول‌بندی مسئله OPF، به حداقل رساندن کل هزینه تولید توان اکتیو است. ضمناً تابع هزینه هر واحد تولیدی، وابسته به توان اکتیو تولیدی آن است و به صورت منحنی درجه دوم نشان داده می‌شود. سپس تابع هدف کل سیستم از مجموع تک تک توابع هزینه هر ژنراتور بدست می‌آید: (طبق رابطه (۲))

$$F(x) = \sum_{i=1}^{Ng} (a_i + b_i P_{gi} + c_i P_{gi}^2) \quad (2)$$

که در آن Ng تعداد واحدهای تولیدی شامل باس اسلک، P_{gi} توان اکتیو تولیدی در باس i و a و b و c ضرایب تابع هزینه هر ژنراتور می‌باشد.

• انواع محدودیت‌های تساوی:

در اجرای حداقل رسانی تابع هزینه، باید اطمینان داشت که تولید برابر تقاضای بار و تلفات خطوط انتقال است. بنابراین معادلات پخش بار به عنوان محدودیت‌های تساوی در نظر گرفته می‌شود: (طبق رابطه (۳))

$$\begin{bmatrix} \Delta P_i \\ \Delta Q_i \end{bmatrix} = \begin{bmatrix} P_i(V, \theta) - (P_{Gi} - P_{Di}) \\ Q_i(V, \theta) - (Q_{Gi} - Q_{Di}) \end{bmatrix} = 0 \quad (3)$$

که توان اکتیو و راکتیو تزریقی در باس i به ترتیب بصورت معادلات (۴) و (۵) تعریف می‌شود:

$$P_i(V, \theta) = \sum_{j=1}^{N_s} V_i V_j (G_{ij} \cos \theta_{ij} + B_{ij} \sin \theta_{ij}) \quad (4)$$

$$Q_i(V, \theta) = \sum_{j=1}^{N_s} V_i V_j (G_{ij} \sin \theta_{ij} - B_{ij} \cos \theta_{ij}) \quad (5)$$

که در آن G_{ij} هدایت پذیری (کندو کتانس)، V_i سوپتانس، B_{ij} اندازه ولتاژ در باس i و θ_{ij} زاویه ولتاژ فاز باس است.

• محدودیت تعادل توان:

$$\sum_{i=1}^N P_i = PD + P_{Loss} \quad (6)$$

$$P_{Loss} = \sum_{i=1}^{N_{bus}} \sum_{j=1}^{N_{bus}} |V_i| |V_j| |Y_{bus ij}| \cos(\theta_{bus ij} - \delta_i + \delta_j) \quad (7)$$

• انواع محدودیت‌های نامساوی:

محدودیت‌های نامساوی OPF منعکس کننده محدودیت‌های تجهیزات فیزیکی سیستم قدرت و همچنین محدودیت‌های ایجاد شده برای قابلیت اطمینان سیستم است. معمول ترین انواع محدودیت‌های نامساوی، محدودیت ولتاژ بالا در باس‌های متصل به بار و واحدهای تولیدی و محدودیت ولتاژ پایین در باس‌های متصل به بار است. محدودیت‌های تولید، شامل حداکثر و حداقل توان اکتیو تولیدی در ژنراتورها، حداکثر ظرفیت خطوط انتقال و محدودیت در تنظیم تپ TCUL ها و تغییر فاز است. محدودیت‌های نامساوی متغیرهای مسئله عبارتند از :

باندهای بالا و پایین توان اکتیو تولیدی در باس‌های دارای ژنراتور:

$$P_{Gi}^{min} \leq P_{Gi} \leq P_{Gi}^{max} \quad (8)$$

باندهای بالا و پایین توان راکتیو تولیدی در باس‌های دارای ژنراتور و تزریق توان راکتیو در باس‌ها با جبرانگر VAR:

$$Q_{Gi}^{min} \leq Q_{Gi} \leq Q_{Gi}^{max} \quad (9)$$

$$Q_{Ci}^{min} \leq Q_{Ci} \leq Q_{Ci}^{max} \quad (10)$$

باندهای بالا و پایین اندازه ولتاژ در تمام باس‌ها:

$$V_{Gi}^{min} \leq V_{Gi} \leq V_{Gi}^{max} \quad (11)$$

$$V_{Li}^{min} \leq V_{Li} \leq V_{Li}^{max} \quad (12)$$

باندهای بالا و پایین در زاویه ولتاژ فاز باس:

$$\theta_{Gi}^{min} \leq \theta_{Gi} \leq \theta_{Gi}^{max} \quad (13)$$

حداکثر ظرفیت عبوری هر خط انتقال را می‌توان بر حسب MW / MVAR / MVA با توجه به درجه حرارت هادی یا به علت نگرانی‌های پایداری سیستم به صورت رابطه (14) تعریف نمود :

$$|P_{i,j}| \leq P_{i,j}^{max} \quad (14)$$

حال می‌توان دید کهتابع هدف F یکتابع غیر خطی بوده و تعداد محدودیت‌هایتساوه و نامساوه آن بسته به اندازه شبکه افزایش می‌یابد.

۳- موافق اجرای فرایند پخش بار بهینه و تعیین قیمت بازار برق

۱-۳- پیاده‌سازی فرایند پخش بار بهینه

در اینجا روش حل مسئله پخش بار به پنج مرحله تقسیم شده که توسط الگوریتم پیشنهادی پیاده‌سازی شده است. این مراحل

به شرح زیر است:

(۱) پریونیت کردن مقادیر و تشکیل ماتریس ادمیتانس شبکه (Ybus):

$$Y_{bus} = \begin{bmatrix} Y_{11} & \dots & Y_{1j} & \dots & Y_{1n} \\ \vdots & & \vdots & & \vdots \\ Y_{k1} & \dots & Y_{kj} & \dots & Y_{kn} \\ \vdots & & \vdots & & \vdots \\ Y_{n1} & \dots & Y_{nj} & \dots & Y_{nn} \end{bmatrix} \quad (15)$$

(۲) تشکیل جدول مقادیر اولیه ولتاژها (متغیرهای حالت):

$$|V_{bus}| = \begin{bmatrix} |V_1| \\ \vdots \\ |V_n| \end{bmatrix}, \quad \delta_{bus} = \begin{bmatrix} \delta_1 \\ \vdots \\ \delta_n \end{bmatrix} \quad (16)$$

(۳) تشکیل ماتریس ژاکوبین: در این مرحله مگاوار باس‌های دارای ژنراتور نیز تست می‌شود و اگر اندازه ولتاژ در محدوده قرار نداشت در موقعیت 1 pu ، مگاوار ژنراتور در داخل محدوده مشخص شده قرار داده می‌شود.

$$[J] = \begin{bmatrix} H & M \\ N & L \end{bmatrix} = \begin{bmatrix} \frac{\partial P_i}{\partial \delta_i} & \left\{ \begin{array}{l} \frac{\partial P_i}{\partial |\bar{V}_l|} \\ \frac{\partial P_i}{\partial |\bar{V}_n|} \end{array} \right. \\ \frac{\partial P_i}{\partial \delta_n} & \left\{ \begin{array}{l} \frac{\partial Q_i}{\partial \delta_i} \\ \frac{\partial Q_i}{\partial \delta_n} \end{array} \right. \\ \frac{\partial Q_i}{\partial \delta_i} & \left\{ \begin{array}{l} \frac{\partial Q_i}{\partial |\bar{V}_l|} \\ \frac{\partial Q_i}{\partial |\bar{V}_n|} \end{array} \right. \\ \frac{\partial Q_i}{\partial \delta_n} & \left\{ \begin{array}{l} \frac{\partial Q_i}{\partial |\bar{V}_l|} \\ \frac{\partial Q_i}{\partial |\bar{V}_n|} \end{array} \right. \end{bmatrix} \quad (17)$$

(۴) تشکیل ماتریس GSF: به کمک آن می‌توان تغییر توان عبوری از خطوط را با تغییر توان توزیقی به باس‌ها مرتبط کرد.

$$X''_{i,j} = (B''_{i,j})^{-1} \quad (18)$$

$$X'_{i,j} = \begin{cases} 0 & i \text{ or } j = 1 \\ X''_{i,j} & i \text{ or } j = 2, \dots, N_{bus} \end{cases} = \begin{bmatrix} 0 & 0 \\ 0 & X'' \end{bmatrix} \quad (19)$$

$$S_{i-j,k} = \frac{X'_{i,k} - X'_{j,k}}{x_{i,j}} \quad (20)$$

$$S_{FI} = \begin{bmatrix} S_{1,2} & \dots & S_{1,j} \\ \vdots & & \vdots \\ S_{k,2} & \dots & S_{k,j} \\ \vdots & & \vdots \\ S_{i,2} & \dots & S_{i,j} \end{bmatrix}, \quad j = 2, \dots, N_{bus}, \quad i = 1, \dots, N_{bus} \quad (21)$$

(۵) محاسبات تکراری مراحل زیر تا رسیدن به همگرایی:

الف) تشکیل فرم گسترده مسئله به کمک ماتریس ژاکوبین:

$$\begin{bmatrix} \Delta\delta_i \\ \Delta|\bar{V}_i| \end{bmatrix} = [J]^{-1} \begin{bmatrix} \Delta P_i \\ \Delta Q_i \end{bmatrix} \quad (22)$$

ب) محاسبه تغییرات توان:

$$P_i = \sum_{j=1}^{N_s} |V_i| |Y_{in}| |V_j| \cos(\delta_j - \delta_i + \theta_{in}) + PD_i, \quad \Delta P_i = P_i^{old} - P_i \quad (23)$$

$$Q_i = - \sum_{j=1}^{N_s} |V_i| |Y_{in}| |V_j| \sin(\delta_j - \delta_i + \theta_{in}) + QD_i, \quad \Delta Q_i = Q_i^{old} - Q_i \quad (24)$$

ج) محاسبه توان عبوری از خطوط: توجه داشته باشد که تلفات خطوط لحاظ شده است.

$$P_{i,j} = \begin{bmatrix} P_{1,2} \\ \vdots \\ P_{i,j} \end{bmatrix} = S_{FI} \times \begin{bmatrix} PI_2 \\ \vdots \\ PI_N \end{bmatrix}, \quad PI_i = P_i - PD_i - P_{Loss} \quad (25)$$

$$N = 2, \dots, N_{bus}$$

در نهایت این محاسبات تا زمانی تکرار می‌شود که محدوده توان تولیدی ژنراتورها و محدوده توان عبوری از خطوط رعایت شود.

۲-۳- محاسبه قیمت بازار برق

پس از محاسبات پخش بار بهینه و بدست آوردن توان عبوری از خطوط، می‌توان قیمت بازار برق را به دو حالت محاسبه نمود. در حالت اول (یعنی UMP)، نتایج پخش بار بگونه‌ای بدست آمده که گرفتگی خطوط ایجاد نشده و در نتیجه قیمت برق از روی هزینه نهایی ژنراتورهای روشن بدست می‌آید ضمناً در این حالت قیمت برق برای کلیه باس‌ها یکسان خواهد بود. حالت دوم (یعنی LMP) برای زمانی است که یکی یا برخی از خطوط انتقال به حداقل ظرفیت خود رسیده و در نتیجه قیمت برق برای کل باس‌ها یکسان نخواهد بود و باید قیمت برق در هر باس بسته به تولید ژنراتورها محاسبه شود.

• قیمت UMP:

در این حالت هزینه نهایی واحدها، با مشتق گیری از تابع هزینه ژنراتورها و قرار دادن حداقل توان تولیدی طبق رابطه (۲۶) بدست آمده است. با توجه به اطلاعات واحدهای تولیدی شبکه IEEE ۱۴ شینه که در مرجع [۱] داده شده، هزینه نهایی ژنراتورها

به ازای کمترین توان تولیدی در جدول ۱ نشان داده شده است.

$$MC_i(P_i^{min}) = \frac{dF_i(P_i^{min})}{dP_i^{min}} \left(\frac{\$}{MWh} \right), \quad (26)$$

$$i = 1, 2, 3, 6, 8$$

جدول ۱. نتایج پخش بار بهینه در شبکه ۱۴ باسه

| ژنراتورها | P1 | P2 | P3 | P6 | P8 |
|----------------|-------|------|----|--------|----|
| هزینه | | | | | |
| نهایی (MCi) | 18.52 | 19.6 | 23 | 27.334 | 28 |

در نهایت قیمت برق (π) در این حالت براساس هزینه نهایی ژنراتور گرانتر تعیین می‌شود، چرا که اگر بر اساس هزینه نهایی کمتر انتخاب شود ژنراتورهای گرانتر ضرر می‌کنند بنابراین روشن بودن آنها منطقی نخواهد بود. ضمناً به منظور پایین نگه داشتن قیمت بازار، قیمت برق بر اساس کمترین توان تولیدی ژنراتورها تعیین شده است.

$$\pi = \max(MC_i(P_i^{min})), \quad (\$/MWh) \quad (27)$$

• قیمت LMP

در صورت پر شدن ظرفیت خطوط انتقال، امکان استفاده از تمام ظرفیت تولیدی ژنراتورهای شبکه وجود ندارد و در نتیجه قیمت برق در مکان‌های مختلف شبکه یکسان نخواهد بود که در اصطلاح به آن قیمت نهایی محلی یا LMP می‌گویند. در واقع LMP به معنی تامین یک مگاوات بار اضافی در محل از طریق ارزانترین ژنراتورهایی است که امکان تولید را بدون نقض محدودیت‌های خطوط انتقال دارا هستند. بنابراین یک راه محاسبه LMP، توجه به ژنراتورهایی است که به حد بالا یا پایین تولید خود رسیده‌اند. به این نوع ژنراتورها که بخشی از ظرفیت آنها باقی مانده، ژنراتورهای نهایی می‌گویند. بنابراین LMP در شین‌های دارای ژنراتور نهایی، برابر با هزینه نهایی این نوع ژنراتورها خواهد بود. ضمناً LMP سایر باس‌ها که فاقد ژنراتور هستند و یا ژنراتورهای آنها به حد تولید خود رسیده‌اند تابعی از LMP باس‌های دارای ژنراتور نهایی خواهد بود. بنابراین به دو صورت باید LMP باس‌ها را محاسبه نمود:

حالت اول برای باس‌های دارای ژنراتور نهایی (با توجه به شبکه ۱۴ شینه IEEE):

$$\begin{aligned} \pi_i &= LMP_i = MC_i(P_i), \\ \forall \quad P_i^{min} < P_i < P_i^{max}, \\ P_i &\neq P_i^{min}, \\ P_i &\neq P_i^{max}, \\ i &\in \{1, 2, 3, 6, 8\} \end{aligned} \quad (28)$$

در اینجا ۱ معرف باس‌های دارای ژنراتور نهایی است.

حالت دوم برای باس‌های فاقد ژنراتور یا دارای ژنراتورهای به حد تولید رسیده (با توجه به شبکه ۱۴ شینه IEEE):

$$\pi_j = LMP_j = \sum_i K_i \cdot LMP_i , \quad (29)$$

$$j \in \{1,2,3,4,5,6,7,8,9,10,11,12,13,14\} - i \}$$

در اینجا معرف کلیه باس‌ها به جز باس‌های دارای ژنراتور نهایی است. ضمناً K_i هزینه یک مگاوات مصرف بیشتر در باس j است که با حل معادلات زیر بدست می‌آید:

ژنراتورهای به حد تولید رسیده در باس j :

$$\Delta PI_j = -1 \quad (30)$$

ژنراتورهای خاموش یا بدون ژنراتور در باس j :

$$\Delta PI_j = 0 \quad (31)$$

در صورت پر بودن ظرفیت هر خط:

$$\Delta P_{Line} = 0 \rightarrow S_{FI} \times \begin{bmatrix} \Delta PI_2 \\ \vdots \\ \Delta PI_{14} \end{bmatrix} = 0 \quad (32)$$

حفظ توازن توان توسط شین مرجع:

$$\Delta PI_1 + \Delta PI_2 + \Delta PI_3 + \Delta PI_6 + \Delta PI_8 = 0 \quad (33)$$

در نهایت با محاسبه تغییرات توان در باس‌های دارای ژنراتور نهایی (یعنی ΔPI_i)

$$K_i = \Delta PI_i \quad (34)$$

بنابراین قیمت LMP بصورت:

$$\pi = \{\pi_i, \pi_j\} \quad (35)$$

در ادامه می‌توان سود ژنراتورها (Ω) را از رابطه (36) محاسبه نمود:

$$\Omega_i = P_i \times \pi - F_i(P_i) \quad (36)$$

نهایتاً در شکل ۱ فلوچارت کلیه مراحل تعریف شده در بخش ۳ نشان داده شده است. که در آن بلوک‌های سیز رنگ خروجی الگوریتم پیشنهادی است.

۴- الگوریتم WPSO-GSF

در این بخش قبل از معرفی الگوریتم WPSO-GSF ، ED-GSF ، Lagrangian-GSF ساختار روش‌های در ادامه به منظور بررسی عملکرد آنها، با در نظر گرفتن منحنی تقاضای بار در ۲۴ ساعت، مسئله پخش بار بصورت مجزا توسط این الگوریتم‌ها پیاده‌سازی شده و در نهایت هزینه بهره برداری و سود حاصله در ۲۴ ساعت شبانه روز محاسبه می‌شود. ضمناً باید اشاره کرد که در کار این روش‌ها از ضریب حساسیت توان GSF به منظور ایجاد ارتباط بین تغییر توان تزریقی به باس‌ها با تغییر توان عبوری از خطوط شبکه استفاده شده تا بتوان عبور توان از شاخه‌ها را بصورت مناسب مدیریت و پخش بار واقعی بدست آورد. ضمناً این ماتریس به کمک اطلاعات خطوط (یعنی راکتانس خط) قابل محاسبه است.

ED-GSF - ۱-۴

در روش پخش بار اقتصادی (ED) تامین بار بر اساس تکمیل ظرفیت ژنراتورهای ارزانتر به گرانتر انجام می‌شود. یعنی با محاسبه هزینه نهایی ژنراتورها می‌توان از وضعیت عملکردی ژنراتورها آگاهی پیدا کرده و تامین بار را به کمک ژنراتورهای ارزانتر انجام داده و از این طریق هزینه بهره‌برداری را کاهش داد اما گاهای بدلیل ظرفیت خطوط انتقال امکان استفاده از کل ظرفیت ژنراتور ارزانتر وجود ندارد بنابراین باید مکانیزمی طراحی کرد که بتوان به ازای میزان توان تزریقی، توان عبوری از هر خط را محاسبه نمود که این امکان با استفاده از ماتریس GSF امکان‌پذیر است.

پس در ابتدا ماتریس GSF را طبق مرحله ۴ تشکیل داده و در ادامه تامین بار را به کمک ژنراتورهای ارزانتر انجام می‌دهیم و سپس توسط مرحله ۵ ج ظرفیت خطوط را محاسبه می‌کنیم حال اگر ظرفیت خطوط نقض شده باشد مجدداً باید از ژنراتورهای دیگر نیز استفاده نموده و این کار تا زمانی تکرار می‌شود که ظرفیت خطوط در محدوده خود قرار داشته باشد. ضمناً در این روش تلفات شبکه لحاظ نشده است. در نهایت خروجی روش ED-GSF توان تولیدی ژنراتورها، توان عبوری از خطوط و کل هزینه تولید خواهد بود.

Lagrangian-GSF - ۲-۴

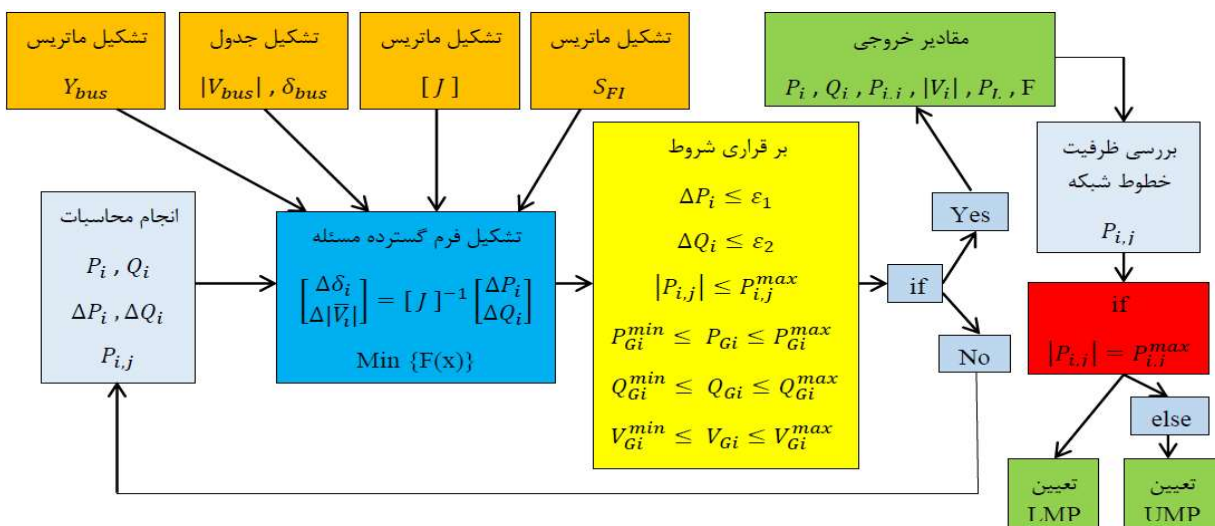
در این روش یک تابع لاگرانژ (Lagrangian)، بصورت ترکیبی از تابع هدف و توابع قیود تساوی و نامساوی همراه با ضرائب لاگرانژ مناسب ساخته می‌شود و نقطه بهینه تابع لاگرانژ همان پاسخ مساله OPF است. ضمناً برای یافتن نقطه بهینه تابع لاگرانژ از این موضوع استفاده می‌شود که در نقطه بهینه، گرادیان تابع لاگرانژ نسبت به تمام متغیرها و ضرائب لاگرانژ صفر است. بنابراین حل مساله OPF منوط به یافتن جواب دستگاه معادلاتی است که از صفر قرار دادن گرادیان بدست می‌آید. پس برای حل این دستگاه در ابتدا یک مقدار پیش فرض برای متغیرها و ضرائب لاگرانژ، به عنوان نقطه بهینه پیش فرض در نظر می‌گیریم و سپس میزان تغییر متغیرها برای صفر شدن گرادیان محاسبه شده و مقادیر متغیرهای پیش فرض نیز تصحیح می‌شوند و این کار تا همگرا شدن جوابها ادامه می‌یابد. حال با توجه به روابط زیر:

$$\min(x) \max(i) F_i(x) \begin{cases} c(x) \leq 0 & (1) \\ ceq(x) = 0 & (2) \\ A \cdot x \leq b & (3) \\ Ae \cdot x = beq & (4) \\ lb \leq x \leq ub & (5) \end{cases} \quad (37)$$

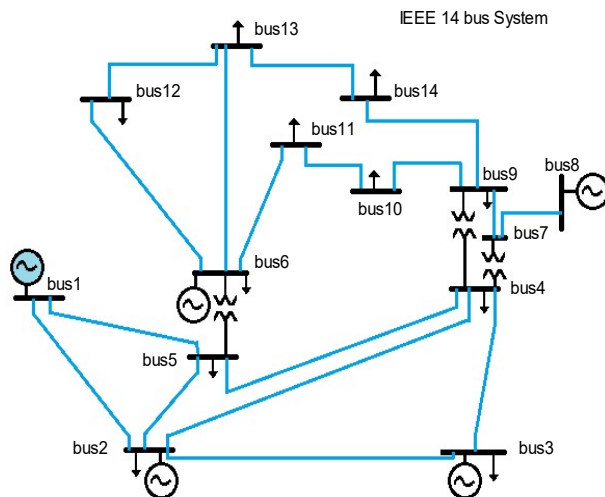
که در آن x ، b و ub ، beq ، A و lb بردار، Aeq ، $c(x)$ و $F(x)$ توابع هستند که بردارها را بر می‌گرداند. $c(x)$ و $F(x)$ میتوانند توابع غیرخطی باشند. که در این روش قید ۱ و ۲ لحاظ نشده، قید ۳ معرف حداقل ظرفیت توان عبوری از هر خط، قید ۴ معرف مجموع تولید برابر با تقاضای بار، قید ۵ معرف حد پایین و بالای توان تولیدی ژنراتورها است. ضمناً در روش Lagrangian-GSF تلفات شبکه لحاظ نشده و خروجی این روش توان تولیدی ژنراتورها، توان عبوری خطوط، کل هزینه تولید است.

• روش NR-Lagrangian-GSF

برای اینکه بتوان تلفات را در روش Lagrangian-GSF در نظر گرفت، به کمک روش نیوتون رافسون (NR) ولتاژ باس‌ها را بدست آورده و در نهایت با محاسبه تلفات و اعمال آن به روش Lagrangian-GSF محاسبات را تکرار می‌کنیم.



شکل ۱. بلوك دیاگرام مراحل پخش بار بهینه و تعیین قیمت بازار برق



شکل ۲. شبکه ۱۴ شینه IEEE

WPSO-3-4

در یک فضای جستجو، عملکرد الگوریتم PSO الهام گرفته از رفتار اجتماعی پرندگان است که برای یافتن غذا در یک محل همیگر را تا رسیدن به محل غذا هدایت می‌کنند. مهمترین مزیت الگوریتم PSO نسبت به سایر الگوریتم‌های جستجو، سادگی پیاده سازی آن است و این سادگی باعث بالا رفتن سرعت انجام محاسبات و رسیدن سریع به جواب دلخواه می‌شود. اما هنگامی که متغیرهای مسئله بهینه‌سازی زیاد می‌شود امکان همگرایی زودرس الگوریتم PSO افزایش می‌یابد. بنابراین الگوریتم PSO استفاده شده است. تا بتوان همزمان به ازای متغیرهای بدست آمده شرط برقراری توان جاری در شبکه را بررسی کرد. توان جاری در صورتی که نقطه مینیمم محلی همگرا شود بلکه بیان می‌دارد، همه ذرات به بهترین نقطه‌ای که تاکنون توسط گروه پیدا شده است همگرا می‌شوند. برای فائق آمدن بر این مشکل در مسئله پخش بار بهینه، از ضربی حساسیت توان (GSF) در ساختار الگوریتم PSO استفاده شده است. تا بتوان همزمان به ازای متغیرهای بدست آمده شرط برقراری توان جاری در شبکه را بررسی نمود و در صورتی که نقطه مینیمم بدست آمده این شرط را نقض نموده مجدد فرایند تکرار شود. ضمناً در کنار این روش از تئوری آشوب نیز استفاده شده است یعنی ضربی لختی در یک مولد آشوب جدید ضربه می‌شود تا با تغییر وزن ذرات از گیر

کردن در نقاط مینیمم محلی جلوگیری شود. در ادامه از روی مقایسه نتایج، می‌توان نشان داد که الگوریتم پیشنهادی نسبت به دیگر روش‌ها بهبود قابل توجهی داشته است.

پارامترهای لازم برای شبیه‌سازی الگوریتم WPSO عبارتند از :

توده ذرات : در ابتدا تعداد n ذره بصورت اتفاقی جایابی می‌شوند و سپس ذرات بصورت تصادفی در توده حرکت کرده و در نهایت تابع را به سمت جواب بهینه هدایت می‌کنند.

P_{best} : معرف بهترین موقعیت هر ذره در طول الگوریتم است.

G_{best} : این پارامتر معرف بهترین موقعیت بین کل ذرات در طول الگوریتم است.

CP : موجب حرکت ذره به سمت P_{best} خود می‌شود.

CG : موجب حرکت ذره به سمت G_{best} کل می‌شود.

ضریب لختی (ω) : موجب تعادل بین جستجوی محلی و کلی در الگوریتم می‌شود.

ضریب آشوب (K) : موجب تغییر ضریب وزنی، به صورت پراکنده شده و از گیر کردن در محیط کوچک محلی جلوگیری به عمل می‌آورد. و ضریب وزنی جدید را بصورت تصادفی بین مقدار ۰ تا ۰.۹ قرار می‌دهد.

لغزش (V) : معرف تغییر موقعیت ذره در محیط جستجو است.

در اینجا P_{best} هزینه تولید در هر حالت کاری و G_{best} حداقل هزینه تولید خواهد بود.

بنابراین موقعیت ذره را می‌توان از رابطه (۳۸) بدست آورد :

$$\begin{aligned} V_i(t+1) &= K \cdot \omega(t) + C_p \cdot rand(1) \cdot (P_{best_i}(t) - x_i(t)) + C_g \cdot rand(1) \cdot (G_{best_i}(t) - x_i(t)) \\ K \cdot \omega &= \omega_{min} + (\omega_{max} - \omega_{min}) \cdot rand(1) \\ x_i(t+1) &= x_i(t) + V_i(t+1) \end{aligned} \quad (38)$$

$$F_T = F(x) = \sum_{i=1}^{N_g} (a_i + b_i P_{gi} + c_i P_{gi}^2) \quad (39)$$

$$\begin{aligned} f(x) &= F_T + \sum_{i=1}^{N_{eq}} \mu_i |g_i(x)| + \sum_{j=1}^{N_{ineq}} \lambda_j h_j(x) + \text{Penalty}, \\ \text{Penalty} &= 100 * abs \left(\sum_{i=1}^n P_i - PD - P_{Loss} \right) \end{aligned}$$

معمولًا مقدار متغیرهای کنترلی بصورت $4 \geq C_p + C_g \geq 0$ برای جا به جایی کند تا ۱ برای جا به جایی با دامنه بزرگ قرار می‌گیرد.

در اینجا به منظور لحاظ کردن کلیه قیود تساوی و نامساوی و جلوگیری از نقض حدود تعیین شده برای متغیرها، تابع هدف مسئله $f(x)$ بصورت رابطه (۳۹) طراحی شده که به ترتیب قیود تساوی و نامساوی با ضرایب λ_i ، a_i و نقض حدود متغیرها از طریق تابع جریمه Penalty در تابع هدف گنجانده شده است.

• مراحل اجرا:

کلیه مراحل تعریف شده در شکل ۱ به قرار زیر توسط الگوریتم PSO پیاده‌سازی می‌شود.

(الف) مقدار دهی اولیه داده‌ها (n) و متغیرهای کنترلی (CG ، CP)

(ب) تولید موقعیت و سرعت

(ج) محاسبه تابع برازندگی $f(x)$ با استفاده از OPF (یعنی همان تابع هدف طراحی شده با پنج مرحله)

(د) بروز رسانی موقعیت و سرعت

(ه) تکرار بخش ج و بررسی برقراری شروط و در صورت نقض ، تکرار برنامه تا رسیدن به پاسخ بهینه تر

ضمانتا در این روش تعداد ذرات ۲۰ ، مقدار CG و CP برابر ۲ در نظر گرفته شده است. نهايانا خروجي روش پيشنهادی توان توليدی ژنراتورها، توان عبوری از خطوط، كل هزينه توليد، ولتاژ هر باس و تلفات کل شبکه خواهد بود.

جدول ۱. مقایسه نتایج پخش بار بهینه در شبکه IEEE ۱۴ شینه

| Power | Min | Max | PSO [1] | IPSO [1] | SQP [2] | IHS [2] | GA [2] | ED-GSF | LA-GSF | NR-LA | WPSO-GSF |
|------------------|-----|-----------|----------|----------|----------|-----------|----------|----------|----------|----------|----------|
| P1 (MW) | 50 | 200 | 161.4592 | 154.7555 | 133.6103 | 138.7025 | 162.7528 | 135.75 | 131.7265 | 139.0018 | 131.8494 |
| P2 (MW) | 20 | 80 | 20 | 20 | 56.8206 | 59.5883 | 60.1288 | 20 | 23.3831 | 24.8658 | 25.8162 |
| P3 (MW) | 15 | 50 | 50 | 50 | 36.4725 | 33.2682 | 40.5898 | 50 | 50 | 50 | 50 |
| P6 (MW) | 10 | 30 | 10 | 30 | 24.9509 | 23.9271 | 21.6584 | 30 | 30 | 30 | 30 |
| P8 (MW) | 10 | 35 | 23.5941 | 10 | 28.8968 | 23.901 | 27.0935 | 23.25 | 23.8904 | 24.1745 | 24.3563 |
| P1,2(MW) | 120 | 105.5066 | 101.8434 | 71.8454 | 75.8468 | 69.2586 | 93.1343 | 89.8782 | 88.4489 | 87.533 | |
| P1,5(MW) | 65 | 49.8993 | 47.1566 | 40.0138 | 42.4686 | 40.2709 | 42.6157 | 41.8483 | 41.5107 | 41.2945 | |
| P2,3(MW) | 36 | 38.3397 | 37.8898 | 44.0003 | 46.6160 | 42.5510 | 35.9989 | 36 | 36 | 36 | |
| P2,4(MW) | 65 | 37.3628 | 36.4213 | 36.0876 | 38.4536 | 37.0483 | 32.4641 | 32.4664 | 32.4664 | 32.4664 | 32.4665 |
| P2,5(MW) | 50 | 28.1040 | 25.8323 | 26.8782 | 28.6654 | 28.0882 | 22.9713 | 23.0949 | 23.1483 | 23.1827 | |
| P3,4(MW) | 63 | -5.8603 | -6.3102 | -13.7272 | -14.3158 | -11.0592 | -8.2011 | -8.2 | -8.2 | -8.2 | |
| P4,5(MW) | 45 | -40.3963 | -45.8344 | -40.1182 | -42.6453 | -39.1445 | -41.0784 | -40.5778 | -40.3572 | -40.2159 | |
| P4,7(MW) | 55 | 12.3473 | 16.6271 | 5.6951 | 9.0582 | 7.6087 | 8.2239 | 7.8275 | 7.6516 | 7.539 | |
| P4,9(MW) | 32 | 11.7515 | 11.5184 | 8.9834 | 9.9250 | 9.7248 | 9.3175 | 9.2167 | 9.172 | 9.1434 | |
| P5,6(MW) | 45 | 30.0071 | 19.5545 | 19.1738 | 20.8887 | 21.6146 | 16.9086 | 16.7654 | 16.7019 | 16.6613 | |
| P6,11(MW) | 18 | 5.0543 | 10.8036 | 7.5338 | 7.9500 | 7.0210 | 9.2103 | 9.124 | 9.0858 | 9.0613 | |
| P6,12(MW) | 32 | 7.3615 | 8.2059 | 7.7257 | 7.7868 | 7.6503 | 7.9719 | 7.9592 | 7.9536 | 7.95 | |
| P6,13(MW) | 32 | 16.3913 | 19.3450 | 17.6652 | 17.8790 | 17.4017 | 18.5265 | 18.4821 | 18.4625 | 18.4499 | |
| P7,8(MW) | 32 | -23.5941 | -10.0000 | -28.8968 | -23.9010 | -27.0935 | -23.25 | -23.8904 | -24.1745 | -24.3563 | |
| P7,9(MW) | 32 | 35.9414 | 26.6271 | 34.5919 | 32.9592 | 34.7022 | 31.4739 | 31.7179 | 31.8261 | 31.8953 | |
| P9,10(MW) | 32 | 7.4457 | 1.6964 | 4.9662 | 4.5500 | 5.4790 | 3.2897 | 3.376 | 3.4142 | 3.4387 | |
| P9,14(MW) | 18 | 10.7473 | 6.9491 | 9.1092 | 8.8342 | 9.4480 | 8.0017 | 8.0587 | 8.0839 | 8.1001 | |
| P10,11(MW) | 12 | -1.5543 | -7.3036 | -4.0338 | -4.4500 | -3.5210 | -5.7103 | -5.624 | -5.5858 | -5.5613 | |
| P12,13(MW) | 12 | 1.2615 | 2.1059 | 1.6257 | 1.6868 | 1.5503 | 1.8719 | 1.8592 | 1.8536 | 1.85 | |
| P13,14(MW) | 12 | 4.1527 | 7.9509 | 5.7908 | 6.0658 | 5.4520 | 6.8983 | 6.8413 | 6.8161 | 6.7999 | |
| V1 (pu) | | 1.1000 | 1.1000 | 0.9558 | 0.9819 | 0.9965 | - | - | 1.0600 | 1.0600 | |
| V2 (pu) | | 1.0804 | 1.0979 | 0.9565 | 0.9788 | 0.9860 | - | - | 1.0350 | 1.0450 | |
| V3 (pu) | | 1.0544 | 1.0734 | 0.9592 | 0.9894 | 0.9810 | - | - | 1.0000 | 1.0100 | |
| V4 (pu) | | - | - | - | - | - | - | - | 1.0061 | 1.0231 | |
| V5 (pu) | | - | - | - | - | - | - | - | 1.0098 | 1.0263 | |
| V6 (pu) | | 1.1000 | 1.0686 | 0.9512 | 0.9833 | 0.9945 | - | - | 1.0600 | 1.0700 | |
| V7 (pu) | | - | - | - | - | - | - | - | 1.0409 | 1.0539 | |
| V8 (pu) | | 1.0756 | 1.0354 | 0.9922 | 0.9774 | 0.9904 | - | - | 1.0800 | 1.0900 | |
| V9 (pu) | | - | - | - | - | - | - | - | 1.0241 | 1.0365 | |
| V10 (pu) | | - | - | - | - | - | - | - | 1.0228 | 1.0347 | |
| V11 (pu) | | - | - | - | - | - | - | - | 1.0376 | 1.0484 | |
| V12 (pu) | | - | - | - | - | - | - | - | 1.0434 | 1.0538 | |
| V13 (pu) | | - | - | - | - | - | - | - | 1.0370 | 1.0474 | |
| V14 (pu) | | - | - | - | - | - | - | - | 1.0113 | 1.0230 | |
| تلفات توان (MW) | | 6.0533 | 5.7555 | 21.7511 | 20.3871 | 53.2233 | - | - | 9.0422 | 3.0219 | |
| هزینه تولید (\$) | | 6170.6 | 6165.6 | 6342.8 | 6203.1 | 7159.5 | 6128.5 | 6126.4 | 6332.7 | 6195.6 | |
| سرعت پردازش | | 8.814 sec | 8.9 sec | 9.2 sec | 28.5 sec | 100.1 sec | 5.6 sec | 3.42 sec | 10.9 sec | 9.36 sec | |

جدول ۲. مقایسه نتایج پخش بار بهینه در شبکه ۳۰ باسه

| Bus Power | min | max | PSO[1] | IPSO[1] | WPSO-GSF |
|-------------------|-----|-----|------------|------------|-----------|
| P1 | 50 | 200 | 175.1820 | 177.0906 | 191.1712 |
| P2 | 20 | 80 | 49.2678 | 48.6662 | 48.1082 |
| P5 | 15 | 50 | 21.7230 | 21.3156 | 19.4701 |
| P8 | 10 | 35 | 22.0514 | 21.1555 | 11.0181 |
| P11 | 10 | 30 | 11.8301 | 11.8729 | 10.0000 |
| P13 | 12 | 40 | 12.0000 | 12.0000 | 12.0000 |
| PLoss | | | 8.6543 | 8.7008 | 8.3677 |
| F | | | 799.6711 | 799.3417 | 796.1674 |
| سرعت پردازش (CPU) | | | 10.856 sec | 10.894 sec | 11.32 sec |

جدول ۳. مقایسه نتایج پخش بار بهینه در شبکه ۵۷ باسه

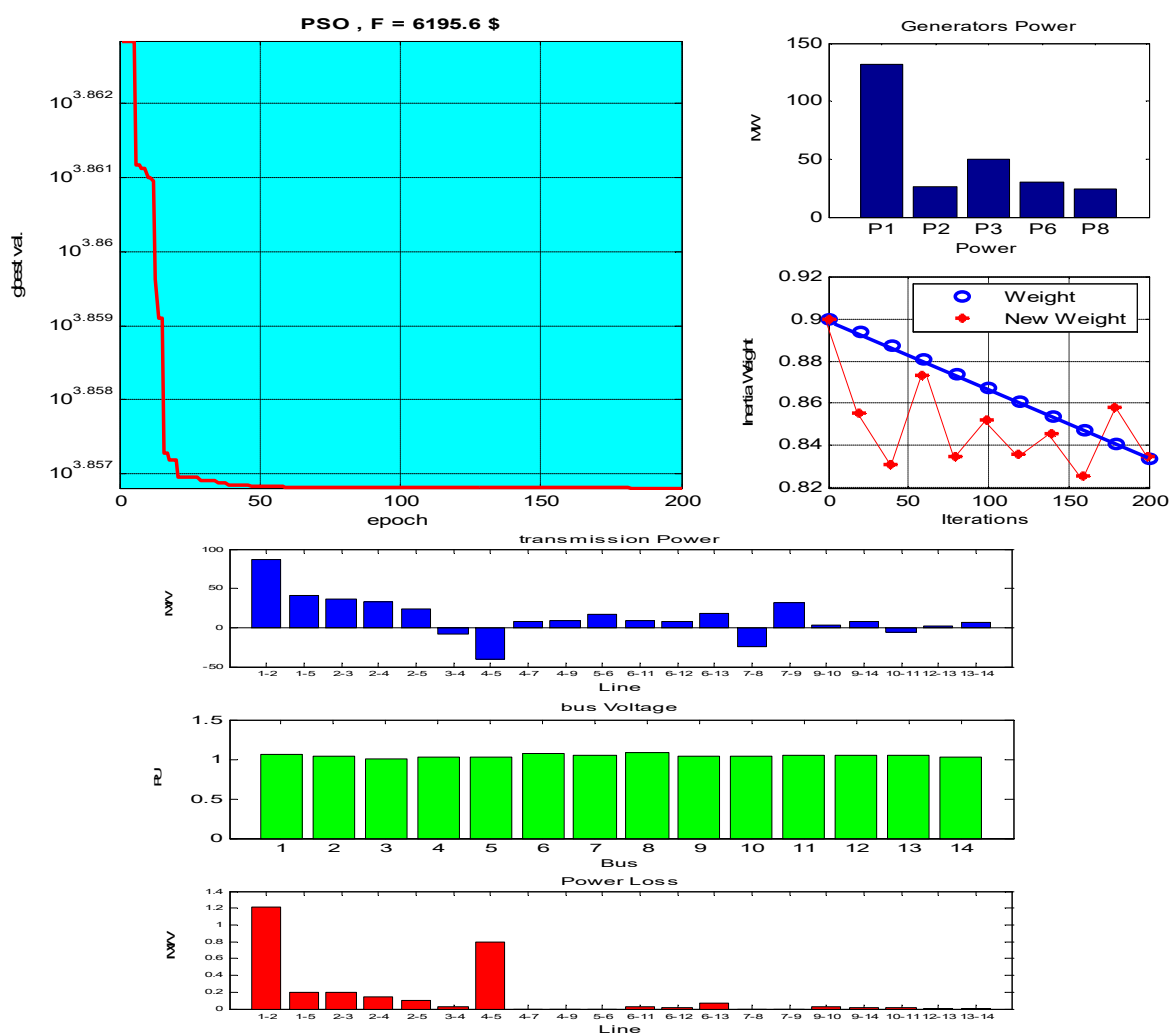
| Bus Power | min | max | PSO[1] | IPSO[1] | SQP[2] | IHS[2] | GA[2] | WPSO-GSF |
|-------------|-----|--------|------------|------------|------------|-----------|------------|-----------|
| P1 | 0 | 575.88 | 139.1571 | 145.3988 | 229.8185 | 272.4235 | 274.93 | 142.1928 |
| P2 | 0 | 100 | 100 | 79.0190 | 143.1449 | 125.4842 | 138.26 | 100 |
| P3 | 0 | 140 | 75.8451 | 42.6999 | 96.1701 | 77.8435 | 93.2667 | 43.9563 |
| P6 | 0 | 100 | 38.4932 | 75.4517 | 243.6877 | 266.3847 | 284.3433 | 72.8127 |
| P8 | 0 | 550 | 455.56 | 459.2791 | 182.2301 | 170.8372 | 181.3667 | 472.6505 |
| P9 | 0 | 100 | 100 | 99.5688 | 183.6253 | 167.9762 | 187.8567 | 88.6546 |
| P12 | 0 | 410 | 360.254 | 364.5374 | 223.4802 | 238.4512 | 237.7633 | 343.3762 |
| P8,9 | | 200 | 176.2036 | 187.9362 | 81.8501 | 83.6866 | 91.9319 | 200 |
| P9,11 | | 50 | 46.3299 | 50.4899 | 36.5837 | 33.2160 | 41.7931 | 50 |
| P6,7 | | 40 | -21.4157 | -15.3374 | 67.0019 | 73.9498 | 75.0824 | -15.5028 |
| P3,15 | | 100 | 59.8149 | 49.5377 | 111.4366 | 105.3258 | 113.3175 | 55.0081 |
| PLoss | | | 73.5094 | 70.1547 | 106.3568 | 123.6005 | 201.9867 | 67.8432 |
| F | | | 42109.7231 | 41688.5004 | 47346.9008 | 48489.299 | 52110.706 | 41553.297 |
| سرعت پردازش | | | 18.814 sec | 18.90 sec | 460.8 sec | 295.4 sec | 1436.2 sec | 19.68 sec |

به منظور پیاده سازی الگوریتم WPSO-GSF در نرم افزار MATLAB، به اطلاعات دقیق شبکه های IEEE شامل توان تولیدی ژنراتورها، اطلاعات خطوط، بارهای متصل به باس ها، ظرفیت خطوط و ... نیاز است که در مرجع [۱] آورده شده است.

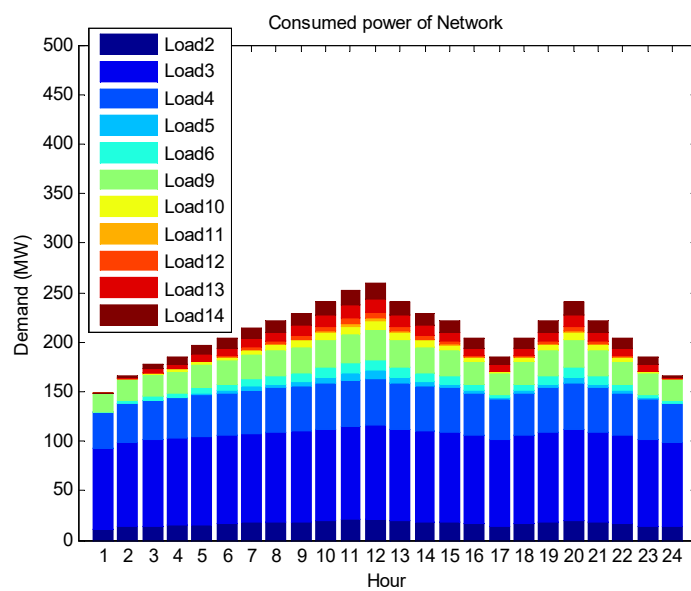
۵- پیاده‌سازی روش پیشنهادی روی شبکه

در این بخش، الگوریتم WPSO-GSF روی شبکه IEEE شکل ۲ پیاده‌سازی شده است. ضمناً اطلاعات شبکه از [۱] گرفته شده و نتایج حاصل از روش پیشنهادی در شکل ۳ شامل منحنی همگرایی به جواب بهینه، بهترین موقعیت متغیرها، تغییرات ضریب وزنی در حالت آشوب و بدون آشوب، میزان تغییرات توان عبوری از هر خط، ولتاژ باس‌ها، تلفات توان در هر خط قابل مشاهده است. همانطور که از نتایج دیده می‌شود ژنراتور P2 با آنکه ارزانتر از ژنراتورهای P3، P6، P8 است اما بدلیل محدودیت خطوط انتقال امکان تولید بیشتر را ندارد. بنابراین به ناچار مجبور به استفاده از ژنراتورهای گرانتر شده‌ایم که این خود موجب افزایش هزینه تولید شده است. در جدول ۱ نتایج حاصل از روش پیشنهادی با دیگر روش‌ها مقایسه شده است.

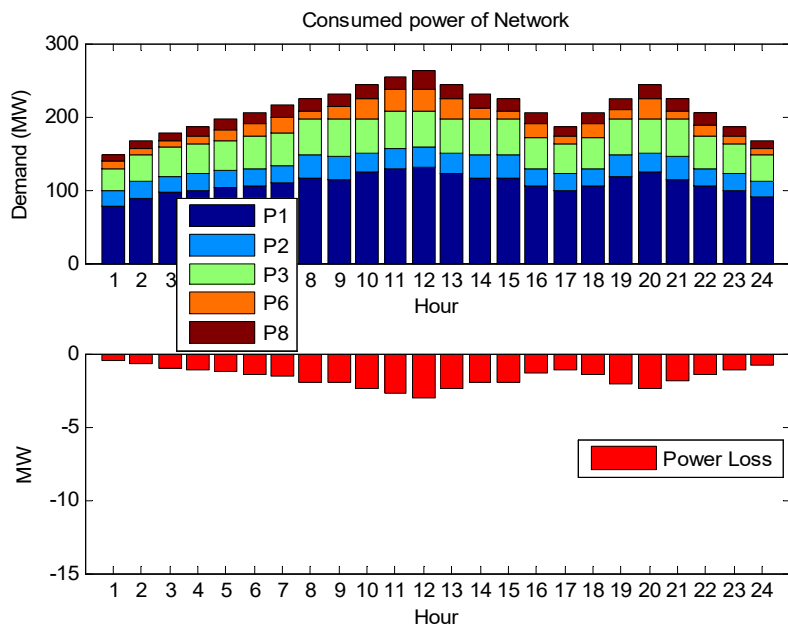
در این قسمت نتایج حاصل از الگوریتم پیشنهادی با روش‌های ارائه شده در مرجع [۱] و [۲] مقایسه شده که اطلاعات آن در جداول ۱ و ۲ و ۳ قابل مشاهده است. در شبکه IEEE هر چند که ژنراتور P2 از ژنراتورهای باس ۳، ۶، ۸ ارزان‌تر است اما به دلیل ظرفیت ۳۶ مگاواتی خط ۲-۳ امکان افزایش توان تولیدی ژنراتور P2 وجود ندارد چراکه موجب گرفگی خط ۲-۳ شده و به ناچار مجبور به استفاده از ژنراتورهای گران‌تر شبکه هستیم. ضمناً در جدول ۱ خطوطی که در پخش بار بهینه خیلی تأثیرگذار است با خط تیره زیر آن مشخص شده و خطوطی که از ظرفیت خود تجاوز کردند پررنگ شده است.



شکل ۳. نتایج حاصل از الگوریتم پیشنهادی



شکل ۴. اطلاعات تقاضای بار شبکه ۱۴ شینه



شکل ۵. توان تولیدی و تلفات شبکه

جدول ۴. نتایج حاصل از پخش بار بهینه ۲۴ ساعته در شبکه ۱۴ شینه IEEE

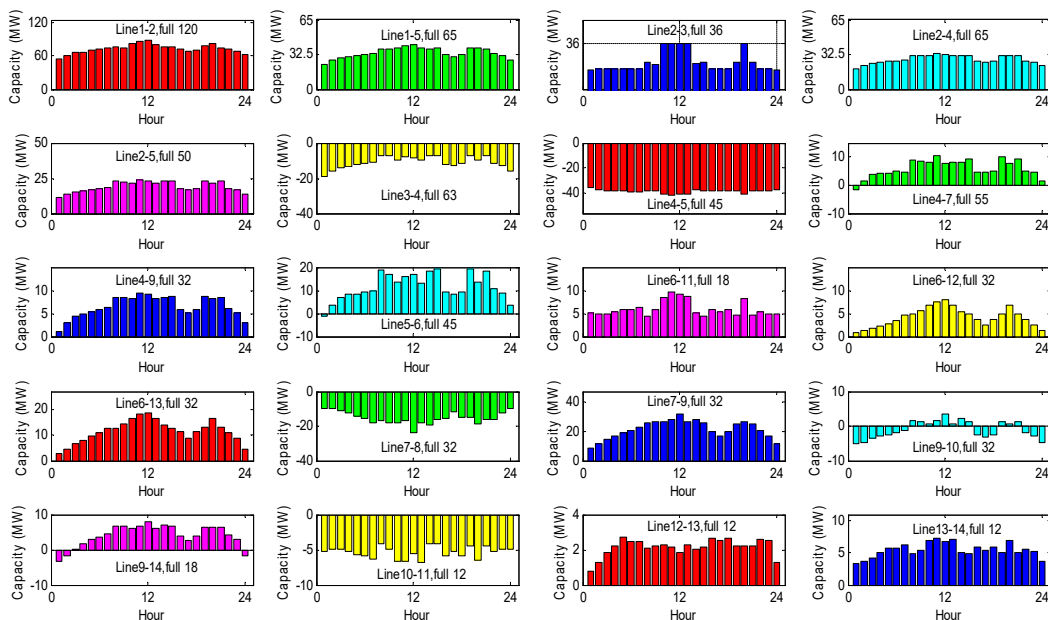
| Hour | WPSO-GSF | | | | | | | | قیمت بازار |
|------|----------|---------|---------|---------|---------|-------|--------|-------------|------------|
| | P1 | P2 | P3 | P6 | P8 | PD | Loss | هزینه تولید | |
| 1 | 77.9626 | 20.1518 | 30.3617 | 10.0000 | 10.0000 | 148 | 0.4761 | 2970 | UMP =28 |
| 2 | 89.1423 | 21.8689 | 36.2316 | 10.0000 | 10.0000 | 166.5 | 0.7428 | 3472.5 | UMP =28 |
| 3 | 97.1803 | 21.4751 | 39.1151 | 10.0000 | 10.8173 | 177.6 | 0.9879 | 3785.7 | UMP =28 |
| 4 | 98.4476 | 23.1492 | 40.5637 | 11.6194 | 12.2967 | 185 | 1.0767 | 4002.2 | UMP =28 |
| 5 | 103.6167 | 22.0193 | 42.2482 | 14.9389 | 14.5486 | 196.1 | 1.2718 | 4329.8 | UMP =28 |
| 6 | 106.1863 | 22.7166 | 43.6760 | 16.9826 | 15.3295 | 203.5 | 1.3910 | 4552.3 | UMP =28 |
| 7 | 109.1087 | 23.0083 | 45.2611 | 20.9218 | 17.8512 | 214.6 | 1.5511 | 4893.7 | UMP =28 |
| 8 | 116.1473 | 30.6717 | 49.2801 | 10.9004 | 16.9288 | 222 | 1.9283 | 5122.9 | UMP =28 |
| 9 | 114.6173 | 31.6564 | 50.0000 | 17.1305 | 17.9215 | 229.4 | 1.9258 | 5357.7 | UMP =28 |
| 10 | 123.4701 | 26.4606 | 46.9401 | 27.8510 | 18.1823 | 240.5 | 2.4041 | 5583.7 | LMP |
| 11 | 129.0268 | 28.3207 | 50.0000 | 30.0000 | 17.0124 | 251.6 | 2.7600 | 5948.9 | LMP |
| 12 | 131.8494 | 25.8162 | 50.0000 | 30.0000 | 24.3563 | 259 | 3.0219 | 6195.6 | LMP |
| 13 | 121.8692 | 27.4579 | 46.8485 | 28.4159 | 18.2648 | 240.5 | 2.3563 | 5584.1 | LMP |
| 14 | 116.0305 | 31.4409 | 50.0000 | 14.2457 | 19.6444 | 229.4 | 1.9614 | 5356.9 | UMP =28 |
| 15 | 116.6729 | 30.7981 | 49.4247 | 10.7717 | 16.2877 | 222 | 1.9552 | 5122.3 | UMP =28 |
| 16 | 105.4939 | 22.6334 | 43.4242 | 17.9873 | 15.3411 | 203.5 | 1.3799 | 4551.7 | UMP =28 |
| 17 | 99.8988 | 22.1694 | 40.7734 | 11.5765 | 11.7277 | 185 | 1.1458 | 4005.4 | UMP =28 |
| 18 | 105.4602 | 23.1219 | 43.5995 | 17.7502 | 14.9528 | 203.5 | 1.3846 | 4551.5 | UMP =28 |
| 19 | 118.5098 | 29.5880 | 49.6704 | 11.2279 | 15.0260 | 222 | 2.0222 | 5123.9 | UMP =28 |
| 20 | 123.8715 | 25.8821 | 46.8126 | 27.3978 | 18.9403 | 240.5 | 2.4043 | 5583.7 | LMP |
| 21 | 114.2974 | 32.3380 | 49.3466 | 11.8831 | 16.0236 | 222 | 1.8888 | 5123.7 | UMP =28 |
| 22 | 106.3352 | 23.2863 | 43.8178 | 15.4568 | 15.9987 | 203.5 | 1.3948 | 4551.7 | UMP =28 |
| 23 | 99.9536 | 22.3950 | 40.8195 | 10.4408 | 12.5285 | 185 | 1.1375 | 4005.2 | UMP =28 |
| 24 | 90.4752 | 20.6262 | 36.1701 | 10.0000 | 10.0000 | 166.5 | 0.7716 | 3472.4 | UMP =28 |

جدول ۵. مقادیر LMP باس‌های شبکه ۱۴ شینه IEEE

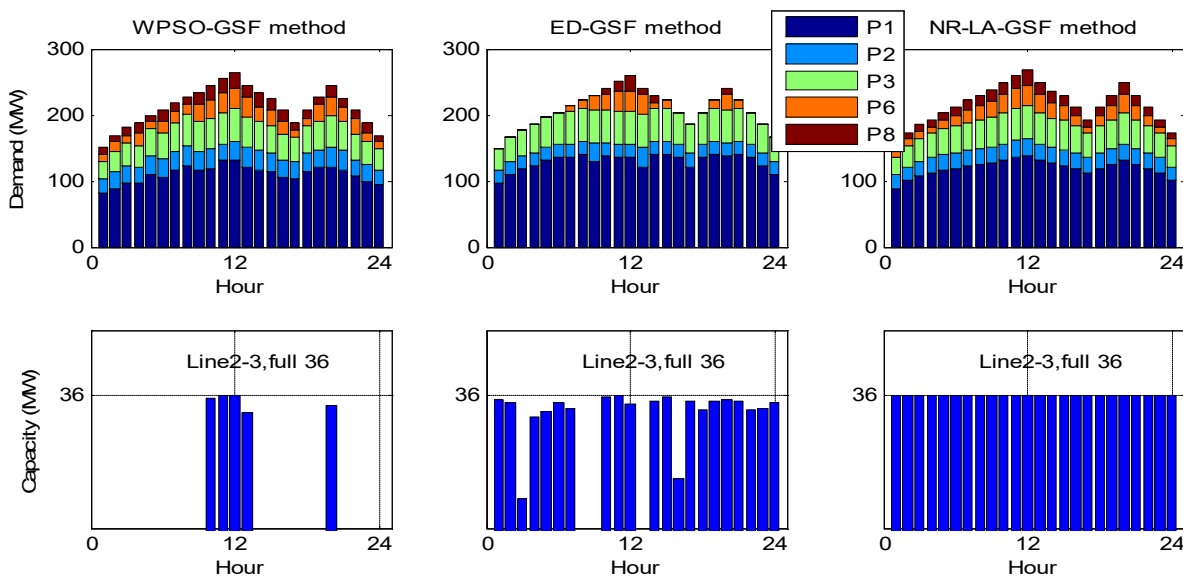
| Hour | WPSO-GSF | | | | | | |
|------|----------|-------|--------|--------|--------|--------|--------|
| | LMP | | | | | | |
| | Bus 1 | Bus 2 | Bus 3 | Bus 4 | Bus 5 | Bus 6 | Bus 7 |
| 10 | 22.22 | 21.41 | 54.94 | 31.54 | 28.59 | 29.71 | 31.27 |
| 11 | 22.50 | 21.93 | 57.09 | 32.32 | 29.19 | 30.35 | 30.80 |
| 12 | 22.64 | 21.23 | 63.15 | 34.15 | 30.48 | 31.83 | 33.74 |
| 13 | 22.14 | 21.69 | 54.85 | 31.36 | 28.51 | 29.79 | 31.30 |
| 20 | 22.24 | 21.25 | 54.81 | 31.64 | 28.69 | 29.65 | 31.57 |
| Hour | Bus 8 | Bus 9 | Bus 10 | Bus 11 | Bus 12 | Bus 13 | Bus 14 |
| 10 | 31.27 | 30.73 | 30.53 | 30.07 | 29.68 | 29.75 | 30.31 |
| 11 | 30.80 | 31.46 | 31.25 | 30.76 | 30.35 | 30.42 | 31.01 |
| 12 | 33.74 | 33.14 | 32.89 | 32.32 | 31.84 | 31.83 | 32.61 |
| 13 | 31.30 | 30.65 | 30.45 | 30.01 | 29.57 | 29.66 | 30.20 |
| 20 | 31.57 | 30.83 | 30.63 | 30.17 | 29.78 | 29.85 | 30.41 |

همان‌طور که از نتایج مشاهده می‌کنید در روش‌های مرجع [۱] محدوده ظرفیت خطوط رعایت نشده و از حدود خود تجاوز

کرده و در روش‌های مرجع [۲] نیز علاوه بر افزایش هزینه تولید و تلفات شبکه، محدودیت ظرفیت خطوط انتقالی نیز نقض شده و عملاً پخش بار شبکه غیرواقعی شده است. که در روش پیشنهادی به دلیل لحاظ کردن ضریب حساسیت توان در محاسبات عملاً پخش بار واقعی بدست آمده است. ضمناً علت کم شدن هزینه تولید در روش‌های ED-GSF و LA-GSF به خاطر لحاظ نکردن تلفات شبکه بوده است. در روش WPSO-GSF هزینه تولید و تلفات شبکه نیز نسبت به دیگر روش‌ها کاهش یافته و دارای سرعت پردازش پایینی نیز هست. ضمناً به منظور بررسی بهتر روش پیشنهادی، الگوریتم WPSO-GSF روی شبکه ۳۰ و ۵۷ شینه نیز پیاده‌سازی شده است. که در جدول ۲ نتایج پخش بار انجام شده توسط روش پیشنهادی و مرجع [۱]، نشان می‌دهد که هیچ گرفتگی خطوطی در شبکه ۳۰ شینه رخ نداده و ضمناً الگوریتم پیشنهادی هزینه تولید کمتری به دست آورده است. در جدول ۳ روش پیشنهادی با روش‌های مراجع [۱] و [۲] مقایسه شده است. همان‌طور که مشاهده می‌کنید در روش‌های مراجع [۱] و [۲] گاه‌ها ظرفیت برخی از خطوط شبکه ۵۷ شینه نقض شده است درحالی که در روش پیشنهادی علاوه بر رعایت این محدودیت‌ها، هزینه تولید کمتری به دست آمده است؛ توضیح آنکه، خطوطی که خیلی در مسئله پخش بار تأثیرگذار هستند بارنگ زرد و نقض ظرفیت خطوط بارنگ قرمز مشخص شده است. از روی نتایج جداول ۱، ۲ و ۳ می‌توان نتیجه گرفت که الگوریتم پیشنهادی علاوه بر واقعی کردن پخش بار، توانسته با بزرگ‌تر شدن شبکه هزینه تولید کمتری را به دست آورد. لازم بذکر است روش‌های مراجع [۱] و [۲] قادر به محاسبه توان عبوری از کلیه خطوط نیستند و تنها هدف مینیمم کردن هزینه تولید ژنراتورها است که در این طرح ما توانسته‌ایم با الگوریتم پیشنهادی این کار را انجام دهیم. در ادامه این مقاله می‌توان با در نظر گرفتن منحنی تقاضای بار در ۲۴ ساعت، مسئله پخش بار بهینه را توسط الگوریتم پیشنهادی روی شبکه IEEE ۱۴ شینه پیاده‌سازی نموده و درنهایت سود حاصله از تولید هر ژنراتور را محاسبه نمود.



شکل ۶. توان عبوری از خطوط شبکه با روش WPSO-GSF

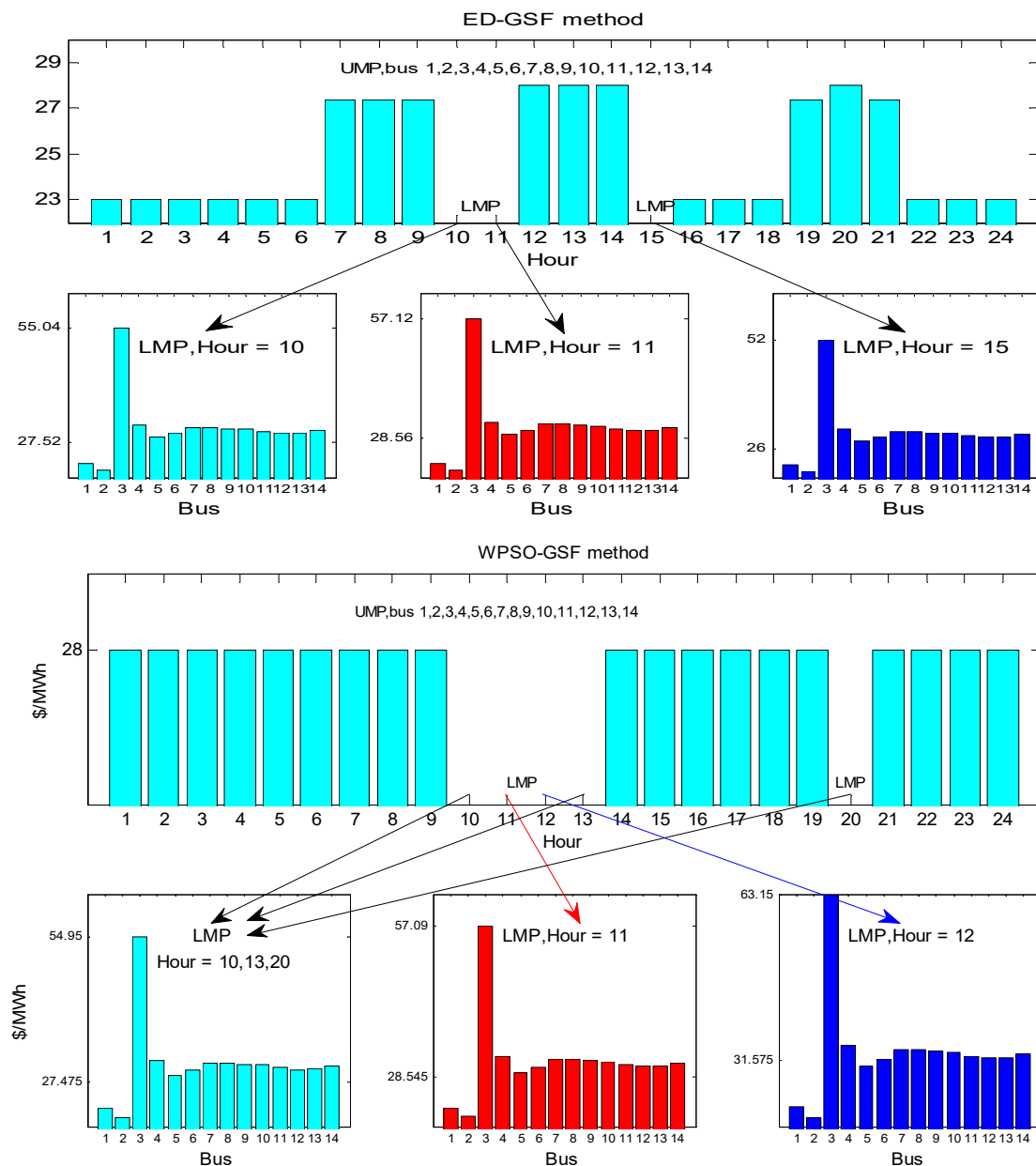


شکل ۷. نتایج پخش بار به روش‌های WPSO-GSF ،ED-GSF ،WPSO-GSF

۶- نتایج شبیه سازی

فرض کنید شکل ۴ منحنی پیش‌بینی تقاضای بار برای شبکه ۱۴ شینه، در ۲۴ ساعت شبانه‌روز باشد که در آن اوچ بار در ساعت ۱۲ ظهر و ۸ شب رخ می‌دهد. حال به منظور بررسی عملکرد الگوریتم WPSO-GSF، مسئله پخش بار بهینه برای هر ساعت مطابق مراحل پیشنهادی پیاده‌سازی شده و درنهایت پس از بررسی توان عبوری از خطوط، قیمت بازار برق بسته به ظرفیت خطوط به صورت LMP یا UMP تعیین و سود ژنراتورها محاسبه می‌شود. در ادامه یک مقایسه بین سود به دست آمده توسط الگوریتم WPSO-GSF با روش‌های ED-GSF و NR-LA-GSF انجام خواهیم داد. ضمناً در این مقاله کلیه شبیه‌سازی‌ها با نرم افزار MATLAB انجام شده است. در اینجا شبکه نمونه مورد مطالعه دارای ۶ ژنراتور، ۱۱ بار، ۳ ترانسفورماتور، ۲۰ خط انتقال است. همان‌طور که از اطلاعات بار شبکه مشاهده می‌کنید بارهای ۱، ۷، ۸ فاقد بار بوده، ضمناً در هر ساعت شبانه‌روز اطلاعات بار شبکه یکسان نیست هرچند که مجموع توان مصرفی در برخی ساعت‌ایکسان است که این خود موجب تفاوت در جواب پخش بار بهینه برای هر ساعت خواهد شد.

در جدول ۴ نتایج حاصل از پیاده‌سازی الگوریتم پیشنهادی شامل میزان توان تزریقی، تلفات شبکه، کل هزینه تولید و قیمت برق برای ۲۴ ساعت شبانه‌روز نشان داده شده است. از روی نتایج دیده می‌شود که یکی از محدودیت‌های این شبکه ظرفیت ۳۶ مگاواتی خط ۲-۳ است که در ساعت‌ای ۱۰، ۱۱، ۱۲، ۱۳، ۲۰ به حداقل ظرفیت خود رسیده است بنابراین در این ساعت‌این قیمت برق بر اساس قیمت نهایی محلی (LMP) محاسبه خواهد شد که در جدول ۵ مقادیر LMP برای بارهای مختلف نشان داده شده است.



شکل ۸. قیمت برق در روش‌های ED-GSF و WPSO-GSF

با توجه به اطلاعات جدول ۴، توان تولیدی ژنراتورها و توان عبوری از خطوط به ترتیب در شکل‌های ۵ و ۶ نشان داده شده است. همان‌طور که مشاهده می‌کنید به کمک الگوریتم WPSO-GSF، به خوبی می‌توان میزان تغییرات توان تزریقی به باس‌ها را با توان عبوری از خطوط مرتبط کرد و به گونه‌ای پخش بار واقعی را به دست آورد. حال اولین سوالی که پیش می‌آید این است که چرا ظرفیت خطوط نقض نشده و بتوان یک پخش بار واقعی را به دست آورد. ژنراتوری که برای پاسخ به این سوال می‌توان ژنراتور باس ۲ نسبت به ژنراتورهای باس ۳، ۶، ۸ را گران‌تر هستند توان کمتری تولید می‌کنند که برای این سوال می‌توان از نتایج شکل (۶) کمک گرفت که در آن حداکثر ظرفیت توان هر خط و همچنین میزان تغییرات ۲۴ ساعته توان مشخص شده است که به خوبی دیده می‌شود علت این مشکل ظرفیت ۳۶ مگاواتی خط ۲-۳ است که امکان تولید بیشتر را به ژنراتور باس ۲ نمی‌دهد به گونه‌ای که این خط در ساعت ۱۰، ۱۱، ۱۲، ۱۳، ۲۰ به حداکثر ظرفیت خود رسیده است. ضمناً ستون‌های منفی توان

معرف بر عکس بودن جهت عبور توان از آن خط است. پس با توجه به نتایج خط ۳-۴، توان از باس ۴ به باس ۳ منتقل می‌شود و این نیز دلیل دیگری بر کاهش توان تولیدی ژنراتور باس ۲ است؛ بنابراین تأمین بار باس ۳ به صورت زیر انجام می‌شود:

$$\text{Load3} = P_{2,3} + P_3 + P_{3,4}$$

در شکل ۷ یک مقایسه بین نتایج حاصل از پخش بار به کمک روش‌های WPSO-GSF، ED-GSF، NR-LA-GSF، ارائه شده است. همان‌طور که قبلاً اشاره شد در شبکه ۱۴ شینه مورد مطالعه، ظرفیت خط ۲-۳ یکی از موانع اصلی در افزایش تولید ژنراتورهای ۱ و ۲ است؛ که در شکل ۷ وضعیت توان عبوری از خط ۲-۳ به ازای روش‌های WPSO-GSF، ED-GSF قابل مشاهده است. همان‌طور که می‌بینید کمترین پرشدنگی ظرفیت خط ۲-۳ در روش WPSO-GSF به دست آمده و در روش NR-LA-GSF، خط ۲-۳ در تمام ساعت‌ها در ظرفیت کامل خود قرار دارد؛ بنابراین برای زمان‌هایی که ظرفیت خط ۲-۳ تکمیل شده باید قیمت برق به صورت LMP محاسبه شود که در شکل‌های ۸ و ۹ قیمت بازار برق به ازای روش‌های WPSO-GSF، ED-GSF، NR-LA-GSF نشان داده شده است. ضمناً از نتایج شکل ۷ دیده می‌شود که در روش ED-GSF ژنراتورهای ۶ و ۸ تنها در ساعت‌های اوج بار وارد مدار شده و در بیشتر ساعت‌ها خاموش بوده و در روش NR-LA-GSF با توجه به اینکه از حل معادلات درجه ۲ در MATLAB برای حل مسئله استفاده شده جواب‌ها به ازای حداکثر ظرفیت خطوط به دست آمده است.

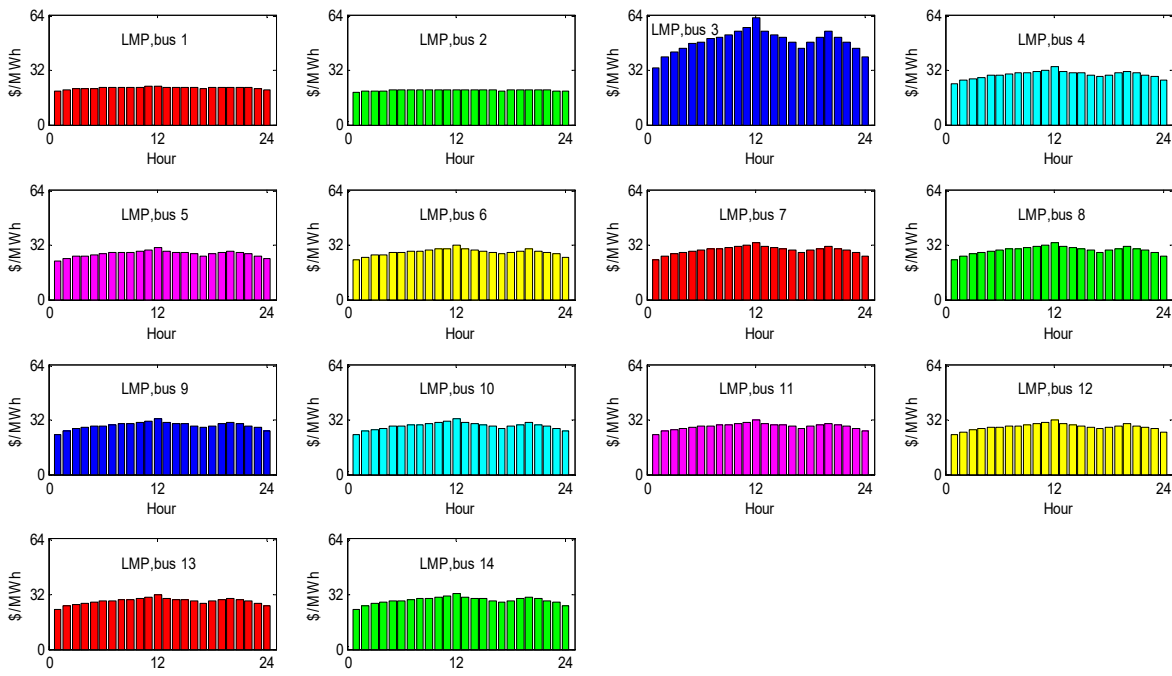
جدول ۶. ریز محاسبات سود ژنراتورها

| Hour | PSO-GSF | | | | | | | کل سود ژنراتورها |
|-------|---------------|---------------|---------------|---------------|---------------|-----------|----------|------------------|
| | سود ژنراتور ۱ | سود ژنراتور ۲ | سود ژنراتور ۳ | سود ژنراتور ۶ | سود ژنراتور ۸ | Loss cost | | |
| 1 | 782.4 | 225.2719 | 146.3 | 13.33 | 20 | -4.943 | 1182.4 | |
| 2 | 869.5 | 239.2098 | 68.3 | 13.33 | 20 | -7.7046 | 1202.6 | |
| 3 | 928.2 | 236.0862 | 17.3 | 13.33 | 19.8664 | -10.2378 | 1204.5 | |
| 4 | 937.1 | 249.0648 | -11.4 | 14.2336 | 18.945 | -11.1545 | 1196.8 | |
| 5 | 972.8 | 240.3913 | -47.5 | 14.9923 | 15.862 | -13.1664 | 1183.4 | |
| 6 | 990.1 | 245.7863 | -80.3 | 14.7283 | 14.3193 | -14.3943 | 1170.3 | |
| 7 | 1009.3 | 248.0027 | -119.1 | 12.6476 | 7.6717 | -16.0418 | 1142.5 | |
| 8 | 1053.8 | 297.6984 | -228.7 | 13.8756 | 10.3983 | -19.9157 | 1127.2 | |
| 9 | 1044.4 | 302.8917 | -250 | 14.6876 | 7.45 | -19.8901 | 1099.5 | |
| 10 | 403.6 | 79.2632 | 1102.2 | 51.0325 | 63.1569 | -33.841 | 1665.3 | |
| 11 | 433.3 | 81.4249 | 1204.5 | 70.47 | 75.8331 | -40.978 | 1824.6 | |
| 12 | 451.9 | 79.1456 | 1507.5 | 114.87 | 114.931 | -50.4275 | 2217.9 | |
| 13 | 402 | 78.4169 | 1102.1 | 50.9969 | 63.1421 | -33.1677 | 1663.6 | |
| 14 | 1053.1 | 301.7784 | -250.0 | 14.9553 | 1.3971 | -20.2552 | 1101 | |
| 15 | 1057 | 298.3802 | -232.9 | 13.8042 | 12.093 | -20.1916 | 1128.2 | |
| 16 | 985.5 | 245.1497 | -74.3 | 14.3943 | 14.2945 | -14.28 | 1170.7 | |
| 17 | 947.3 | 241.5641 | -15.8 | 14.2142 | 19.403 | -11.8674 | 1194.8 | |
| 18 | 985.3 | 248.8595 | -78.5 | 14.4853 | 15.094 | -14.3284 | 1170.9 | |
| 19 | 1068.2 | 291.6690 | -240.2 | 14.0472 | 14.9479 | -20.8784 | 1127.8 | |
| 20 | 403.6 | 79.6264 | 1102.1 | 51.0302 | 62.9185 | -33.8438 | 1665.5 | |
| 21 | 1042.4 | 306.3275 | -230.6 | 14.3476 | 12.7432 | -19.5105 | 1125.7 | |
| 22 | 991.1 | 250.0930 | -83.6 | 14.9781 | 12.8031 | -14.4334 | 1170.9 | |
| 23 | 947.7 | 243.3150 | -16.7 | 13.6106 | 18.7213 | -11.7818 | 1194.8 | |
| 24 | 879.4 | 229.2052 | 69.3 | 13.33 | 20 | -8.0024 | 1203.2 | |
| total | 20638.9186 | 5338.6214 | 4360.0347 | 605.7214 | 655.9917 | -465.2352 | 31134.05 | |

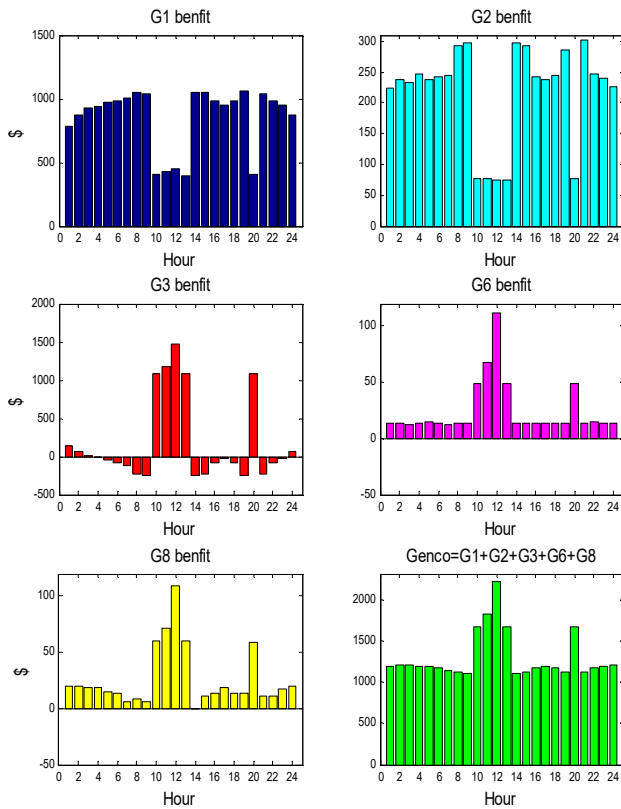
تعیین قیمت برق: با توجه به بررسی ظرفیت خطوط شبکه و درنتیجه تکمیل بودن ظرفیت خط ۳-۲ در ساعت ۲۰، ۲۱، ۲۲، ۲۳، ۲۴ باید قیمت LMP برای باس‌ها در این ساعات محاسبه شده و برای بقیه ساعات که پرشدگی خطوط وجود ندارد UMP در نظر گرفته شود؛ که مقادیر آن در شکل ۸ نشان داده شده است. همان‌طور که از نتایج شکل ۸ مشاهده می‌کنید به دلیل تکمیل بودن ظرفیت خط ۲-۳، امکان تولید بیشتر توسط ژنراتورهای باس‌های ۱ و ۲ وجود نداشته و برای جبران تولید مجبور به استفاده از اقتصادی‌ترین ژنراتور یعنی ژنراتور باس ۳ شده‌ایم که این خود موجب کاهش قیمت در باس‌های ۱ و ۲ و افزایش زیاد قیمت در باس ۳ شده است.

در روش NR-LA-GSF، به دلیل تکمیل بودن ظرفیت خط ۲-۳ در تمام ساعت، قیمت UMP وجود نداشته و باید برای تمام باس‌ها در ۲۴ ساعت قیمت LMP محاسبه شود که نتایج آن در شکل (۹) قابل مشاهده است. همان‌طور که در شکل ۹ می‌بینید قیمت برق در باس‌های ۱ و ۲ از بقیه باس‌ها کمتر شده است. حال که قیمت بازار برق تعیین شد در ادامه می‌توان، سود حاصله از تولید هر ژنراتور را محاسبه نمود. که در جدول ۶ ریز محاسبات و کل سود ژنراتورها در ۲۴ ساعت شبانه‌روز مشخص شده است. در روش WPSO-GSF کل سود ژنراتورها برابر ۵۳۱۱۳۴,۰۵ دلار به دست آمده است. ضمناً بیشترین سود نصیب ژنراتور باس ۱ شده و کمترین سود نیز نصیب ژنراتورهای باس ۶ و ۸ شده که علت آن پایین نگهداشتن قیمت برق به ازای حداقل تولید ژنراتورهای گران‌قیمت بوده است. که در شکل ۱۰ سود ساعتی هر ژنراتور به همراه کل سود Genco نمایش داده شده است. همان‌طور که مشاهده می‌کنید در ساعتی که گرفنگی خط ۲-۳ وجود داشته سود ژنراتورهای باس ۱ و ۲ به علت کاهش LMP کم شده و در همین ساعت به علت افزایش LMP در باس‌های ۳، ۶ و ۸ سود این ژنراتورها افزایش یافته است که این تغییرات به خوبی در شکل ۱۰ قابل مشاهده است.

در شکل ۱۱ نیز کل سود به دست آمده به کمک روش‌های WPSO-GSF، ED-GSF، NR-LA-GSF نمایش داده شده است. که از مقایسه نتایج دیده می‌شود که عامل تلفات، نحوه پخش بار و تعیین قیمت برق تأثیر بسزای بر سود ژنراتورها گذاشته است به گونه‌ای که سود حاصله از روش WPSO-GSF، ۲۸۳/۲۵ دلار از روش NR-LA-GSF که در تمام ساعت دارای قیمت LMP بوده و ۱۲۰۸۱ دلار از روش ED-GSF که بدون تلفات لحاظ شده بیشتر به دست آمده است ضمناً این سود به گونه‌ای حاصل شده که تلفات شبکه کاهش یافته و پرشدگی خطوط تنها در ساعت ۱۰، ۱۱، ۱۲، ۱۳، ۲۰ رخداده است. بنابراین جدا از کاهش هزینه تولید می‌توان با کاهش تلفات و همچنین افزایش قیمت برق، سود ژنراتورها را افزایش داد.



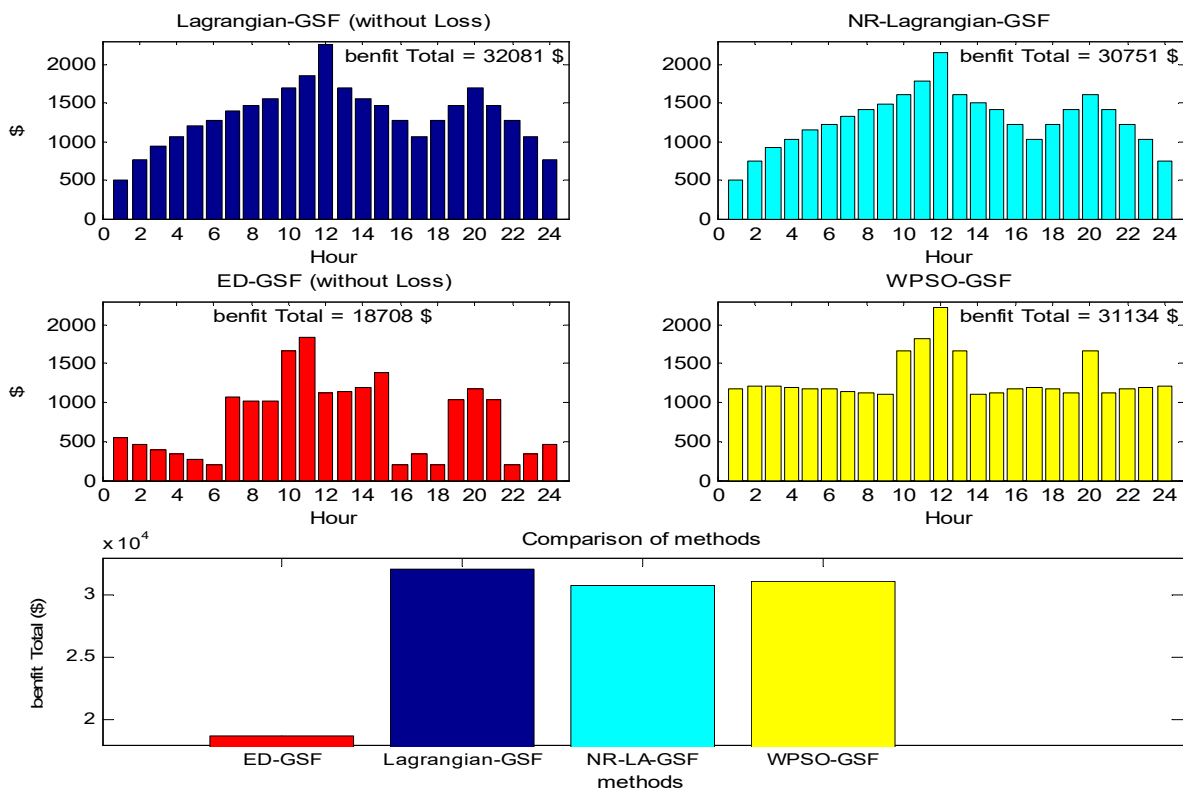
شکل ۹. قیمت برق در روش NR-LA-GSF



شکل ۱۰. سود ژنراتورها در هر ساعت

درنهایت، با توجه به نتایج، مزیت روش پیشنهادی در مقایسه با سایر روش‌ها را می‌توان به شرح زیر توصیف نمود:

- ۱) ارائه پخش بار بهینه مبتنی بر واقعیت: استفاده از ضریب حساسیت توان در ساختار الگوریتم برای مدیریت گرفتکی خطوط. به گونه‌ای که برخلاف روش‌های برنامه‌نویسی فراابتکاری و درجه ۲، هیچ گرفگی ظرفیت خطوط رخ نداده و پخش بار واقعی ارائه



شکل ۱۱. مقایسه سود کل ژنراتورها

شده است. ضمناً تاکنون الگوریتم فراابتکاری که بتواند توان عبوری از خطوط را محاسبه نماید ارائه نشده است.

(۲) ارائه نقاط ضعف الگوریتم‌های فراابتکاری بکار رفته برای حل مسئله.

(۳) محاسبه قیمت بازار برق: در این مقاله هدف کاهش قیمت برق بر اساس حذف گرفتگی خطوط است.

(۴) افزایش سرعت محاسبات با در نظر گرفتن ضریب حساسیت توان در ساختار الگوریتم: به گونه‌ای که به ازای توان تولیدی، می‌توان به سرعت وضعیت توان عبوری از خطوط را بررسی نمود تا در صورت نقض ظرفیت خطوط، الگوریتم در این مرحله گیر نکرده و بتواند نقطه بهینه مناسب را محاسبه نماید. بنابراین از این طریق الگوریتم دیگر وارد فضای جستجوی غیر مجاز نمی‌شود.

(۵) لحاظ کردن تلفات در محاسبات پخش بار و مانیتورینگ تمام خطوط شبکه: این امر باعث می‌شود تا محاسبات به واقعیت نزدیک‌تر شده و با نظارت بر شبکه بتواند نقاط ضعف شبکه را شناسایی نمود.

(۶) علاوه بر کاهش هزینه‌های تولید، می‌توان با کاهش تلفات و بهینه‌سازی قیمت برق نسبت به سایر روش‌ها، سود تولیدکنندگان را نیز افزایش داد.

(۷) افزایش دقت الگوریتم برای شبکه‌های بزرگ‌تر: در حالی که دقت الگوریتم برای همین شبکه IEEE ۱۴ شینه نیز در مقایسه با روش‌های دیگر بهتر عمل کرده است.

۷- نتیجه‌گیری

در این مقاله از الگوریتم فراابتکاری WPSO-GSF برای حل مسئله پخش بار بهینه (OPF) و محاسبه قیمت نهایی محلی (LMP) استفاده شده است. که به منظور بهبود ساختار الگوریتم PSO از مولد آشوب و ضریب حساسیت توان در ساختار الگوریتم

کمک گرفته شده است. همان طور که می‌دانید به دلیل وجود متغیرهای زیاد مسئله OPF امکان همگرایی زودرس الگوریتم وجود دارد که این فرایند نمی‌تواند ضامن رساندن به نقطه مینیمم مسئله باشد، چراکه ممکن است تمام ذرات به بهترین نقطه‌ای که تاکنون توسط گروه پیداشده همگرا شوند نه نقطه مینیمم اصلی مسئله باشند. برای فائق آمدن بر این مشکل، در این مقاله از ضربیت حساسیت توان (GSF) در ساختار الگوریتم PSO کمک گرفته شده تا بتوان تغییرات توان عبوری از خطوط شبکه را با تغییرات توان ژنراتورها مرتبط ساخت و بتوان به طور همزمان به ازای متغیرهای به دست آمده شرط برقراری توان جاری در شبکه را ارزیابی نموده و در صورتی که نقطه مینیمم به دست آمده این شرط را نقض کرد مجدداً فرایند تکرار شود. ضمناً در کنار این روش از تئوری آشوب نیز کمک گرفته شده تا بتوان با تغییر وزن ذرات به صورت آشوبی از گیرکردن ذرات در نقاط مینیمم محلی جلوگیری به عمل آورد. درنهایت، توان واحدهای تولیدی، تلفات شبکه، ولتاژ باس‌ها، هزینه تولید و توان عبوری از خطوط به عنوان خروجیهای الگوریتم پیشنهادی ارائه شده و با بررسی ظرفیت خطوط قیمت بازار برق و سود ژنراتورها نیز محاسبه شده است. نتایج الگوریتم پیشنهادی در مقایسه با روش‌های مراجع [۱] و [۲]، کاهش تلفات، پایین بودن زمان پردازش، کاهش هزینه تولید و انجام پخش بار بهینه مبتنی بر واقعیت را نشان می‌دهد.

سپاسگزاری

با تشکر از استاد گرامی جناب آقای دکتر نجفی و اسماعیل ییگ که در این راه بنده را راهنمایی، هدایت، آموزش و انگیزه دادند تا بتوانم مشتاقانه به کار خود ادامه داده و از شکست‌ها نالمید نشوم.

مراجع

- [1] Pandian M.Vasant, "Meta-Heuristics Optimization Algorithms in Engineering, Business, Economics, and Finance," Pages: 734, September, 2013, doi: 10.4018/978-1-4666-2086-5.
- [2] Sinsuphan, Nampetch, Uthen Leeton, and Thanatchai Kulworawanichpong. "Optimal power flow solution using improved harmony search method." *Applied Soft Computing* 13, no. 5 (2013): 2364-2374.
- [3] Farhadi, Payam, and Bahman Taheri. "Smart meter tariff pricing using load demand response model." In *2017 5th International Istanbul Smart Grid and Cities Congress and Fair (ICSG)*, pp. 135-139. IEEE, 2017.
- [4] De, Meenakshi, Gourab Das, S. Mandal, and K. K. Mandal. "Investigating economic emission dispatch problem using improved particle swarm optimization technique." In *Industry Interactive Innovations in Science, Engineering and Technology*, pp. 37-45. Springer, Singapore, 2018.
- [5] Chiang, Chao-Lung. "Quantum-behaved particle swarm optimization for economic/emission dispatch problem of power system." *DEStech Transactions on Computer Science and Engineering* mso (2018).
- [6] Beagam, K. Sarmila Har, R. Jayashree, and M. Abdullah Khan. "A Market Center Based Clearing and Settlement of Pure Reactive Power Market in Deregulated Power System." *Engineering science and technology, an international journal* 21, no. 5 (2018): 909-921.
- [7] Biswas, Partha P., Ponnuthurai N. Suganthan, Rammohan Mallipeddi, and Gehan AJ Amaralunga. "Optimal power flow solutions using differential evolution algorithm integrated with effective constraint handling techniques." *Engineering Applications of Artificial Intelligence* 68 (2018): 81-100.
- [8] Guguloth, Ramesh, and TK Sunil Kumar. "LMP calculation and OPF based congestion management in deregulated power systems." In *2016 ELEKTRO*, pp. 299-304. IEEE, 2016.
- [9] Ji, Yuting, Robert J. Thomas, and Lang Tong. "Probabilistic forecasting of real-time lmp and network congestion." *IEEE Transactions on Power Systems* 32, no. 2 (2016): 831-841.

- [10] Ara, A. Lashkar, A. Kazemi, S. Gahramani, and M. Behshad. "Optimal reactive power flow using multi-objective mathematical programming." *Scientia Iranica* 19, no. 6 (2012): 1829-1836.
- [11] Dashtdar, Masoud, Mojtaba Najafi, and Mostafa Esmaeilbeig. "Probabilistic planning for participation of virtual power plants in the presence of the thermal power plants in energy and reserve markets." *Sadhana* 45, no. 1 (2020).
- [12] Dashtdar, Majid, and Masoud Dashtdar. "Voltage Control in Distribution Networks in Presence of Distributed Generators Based on Local and Coordinated Control Structures." *The Scientific Bulletin of Electrical Engineering Faculty* 19, no. 2 (2019): 21-27.
- [13] Dashtdar, Masoud, Mojtaba Najafi, and Mostafa Esmaeilbeig. "Calculating the locational marginal price and solving optimal power flow problem based on congestion management using GA-GSF algorithm." *Electrical Engineering* (2020): 1-18.
- [14] Wang, Yi, Zhifang Yang, and Juan Yu. "Revisit the electricity price formulation: A formal definition, proofs, and examples." *Energy* (2020): 117542.
- [15] Narimani, Mahmood, and Hossein Hosseiniyan. "Investigation of Harmonic Effects in Locational Marginal Pricing and Developing a Framework for LMP Calculation." *Scientia Iranica* (2020).
- [16] Yu, Yanghao, Qingchun Hou, Yi Ge, Guojing Liu, and Ning Zhang. "A Linear LMP Model for Active and Reactive Power with Power Loss." *arXiv preprint arXiv:1910.02400* (2019).
- [17] Yuan, Haoyu, Fangxing Li, Yanli Wei, and Jinxiang Zhu. "Novel linearized power flow and linearized OPF models for active distribution networks with application in distribution LMP." *IEEE Transactions on Smart Grid* 9, no. 1 (2016): 438-448.
- [18] Yang, Zhifang, Anjan Bose, Haiwang Zhong, Ning Zhang, Jeremy Lin, Qing Xia, and Chongqing Kang. "LMP revisited: A linear model for the loss-embedded LMP." *IEEE Transactions on Power Systems* 32, no. 5 (2017): 4080-4090.
- [19] Dashtdar, Masoud, Mojtaba Najafi, and Mostafa Esmaeilbeig. "Reducing LMP and resolving the congestion of the lines based on placement and optimal size of DG in the power network using the GA-GSF algorithm." *Electrical Engineering*: 1-28.
- [20] Ebrahimian, Homayoun, Bahman Taheri, and Nasser Yousefi. "Optimal operation of energy at hydrothermal power plants by simultaneous minimization of pollution and costs using improved ABC algorithm." *Frontiers in Energy* 9, no. 4 (2015): 426-432.
- [21] Siadatan, A., P. Farhadi, B. Taheri, and M. Sedaghat. "Optimal Placement of Various Distributed Generations in Distribution Systems using Firefly Algorithm." In *2018 4th International Conference on Electrical Energy Systems (ICEES)*, pp. 309-314. IEEE, 2018.
- [22] Reddy, S. Surender, and P. R. Bijwe. "Efficiency improvements in meta-heuristic algorithms to solve the optimal power flow problem." *International Journal of Electrical Power & Energy Systems* 82 (2016): 288-302.
- [23] Bagheri, Amir, Hassan Monsef, and Hamid Lesani. "Evaluating the effects of renewable and non-renewable DGs on DNEP from the reliability, uncertainty, and operational points of view by employing hybrid GA and OPF." *International Transactions on Electrical Energy Systems* 25, no. 12 (2015): 3304-3328.
- [24] Moradi, Alireza, Yousef Alinejad-Beromi, and Kourosh Kiani. "Application of grey wolf algorithm for multi-year transmission expansion planning from the viewpoint of private investor considering fixed series compensation and uncertainties." *International Transactions on Electrical Energy Systems* 29, no. 1 (2019): e2702.
- [25] Santra, Dipankar, Arindam Mondal, Anirban Mukherjee, and Krishna Sarker. "Hybrid PSO—ACO technique to solve economic load dispatch problem." In *2015 IEEE International Conference on Research in Computational Intelligence and Communication Networks (ICRCICN)*, pp. 187-191. IEEE, 2015.
- [26] Vu, PhanTu, DinhLuong Le, NgocDieu Vo, and Josef Tlusty. "A novel weight-improved particle swarm optimization algorithm for optimal power flow and economic load dispatch problems." In *IEEE PES T&D 2010*, pp. 1-7. IEEE, 2010.
- [27] Kumar, Sanjeev, and D. K. Chaturvedi. "Optimal power flow solution using fuzzy evolutionary and swarm optimization." *International Journal of Electrical Power & Energy Systems* 47 (2013): 416-423.

- [28] Goswami, S. K., and Parimal Acharjee. "Multiple low voltage power flow solutions using hybrid PSO and optimal multiplier method." *Expert Systems with Applications* 37, no. 3 (2010): 2473-2476.
- [29] Hosseini Moghadam, Seyed Mohammad Sadegh, Hamzeh Roghanian, Masoud Dashtdar, and Seyed Mohammad Razavi. "Size optimization of distributed generation resources in microgrid based on scenario tree." In *2020 8th International conference on smart grid (icSmartGrid)*, pp. 67-72. IEEE, 2020.
- [30] Faqiry, M. Nazif, Lawrynn Edmonds, Hongyu Wu, and Anil Pahwa. "Distribution locational marginal price-based transactive day-ahead market with variable renewable generation." *Applied Energy* 259 (2020): 114103.
- [31] Najafi, Mojtaba, Samaneh Ahmadi, and Masoud Dashtdar. "Simultaneous energy and reserve market clearing with consideration of interruptible loads as one of demand response resources and different reliability requirements of consumers." *International Journal of Emerging Electric Power Systems* 20, no. 5 (2019).
- [32] Singh, Rahul, Amit Kumar Singh, and Tushar Tyagi. "Locational marginal pricing calculation using PTDF through load flow and conventional GSF: A comparative study." In *2018 IEEMA Engineer Infinite Conference (eTechNxt)*, pp. 1-6. IEEE, 2018.
- [33] Man-Im, Anongpun, and Weerakorn Ongsakul. "Heuristic Optimization Algorithms for Power System Scheduling Applications: Multi-Objective Generation Scheduling With PSO." In *Deep Learning Techniques and Optimization Strategies in Big Data Analytics*, pp. 178-205. IGI Global, 2020.
- [34] Farzana, D. Fathema, and K. Mahadevan. "Performance comparison using firefly and PSO algorithms on congestion management of deregulated power market involving renewable energy sources." *Soft Computing* 24, no. 2 (2020): 1473-1482.
- [35] Monal, Patil, Leena Heistrene, and Vivek Pandya. "Optimal Power Flow in Power Networks with TCSC Using Particle Swarm Optimization Technique." In *Advances in Electric Power and Energy Infrastructure*, pp. 91-101. Springer, Singapore, 2020.
- [36] Kumar, B. Sravan, R. Uma Maheswari, B. Sateesh, B. Venkateswara Rao, and GV Nagesh Kumar. "Contingency Management of a Power System Using Rapid Contingency Management Technique and Harmony Search Algorithm." In *Innovative Product Design and Intelligent Manufacturing Systems*, pp. 821-829. Springer, Singapore, 2020.
- [37] Hasan, Fouad, and Amin Kargarian. "Combined Learning and Analytical Model Based Early Warning Algorithm for Real-Time Congestion Management." In *2020 IEEE Texas Power and Energy Conference (TPEC)*, pp. 1-6. IEEE, 2020.
- [38] Davoodi, Elnaz, Ebrahim Babaei, Behnam Mohammadi-Ivatloo, Miadreza Shafie-Khah, and João PS Catalão. "Multiobjective Optimal Power Flow Using a Semidefinite Programming-Based Model." *IEEE Systems Journal* (2020).
- [39] Wei, Wei, Ziqi Shen, Lei Wu, Fangxing Li, and Tao Ding. "Estimating DLMP confidence intervals in distribution networks with AC power flow model and uncertain renewable generation." *IET Generation, Transmission & Distribution* 14, no. 8 (2020): 1467-1475.
- [40] Haydlaar, Aliy, Ali Musyafa, A. Soeprijanto, M. Syaiin, G. Suhardjito, B. Herijono, R. Y. Adhitya et al. "Optimization of power coefficient (C_p) in variable low rated speed wind turbine using incremental Particle Swarm Optimization (IPSO)." In *2017 International Symposium on Electronics and Smart Devices (ISESD)*, pp. 56-61. IEEE, 2017.
- [41] Pereira, Jorge, Jorge Alves, and Manuel Matos. "Optimization of electrical distribution network operation based on EPSO." In *2015 18th International Conference on Intelligent System Application to Power Systems (ISAP)*, pp. 1-6. IEEE, 2015.
- [42] Mahdi, Fahad Parvez, Pandian Vasant, Md Mushfiqur Rahman, M. Abdullah-Al-Wadud, Junzo Watada, and Vish Kallimani. "Quantum particle swarm optimization for multiobjective combined economic emission dispatch problem using cubic criterion function." In *2017 IEEE International Conference on Imaging, Vision & Pattern Recognition (icIVPR)*, pp. 1-5. IEEE, 2017.